

МИНИСТЕРСТВО ГЕОЛОГИИ СССР
МИНИСТЕРСТВО ГЕОЛОГИИ РСФСР
БУРЯТСКОЕ ТЕРРИОРИАЛЬНОЕ ГЕОЛОГИЧЕСКОЕ УПРАВЛЕНИЕ

ГЕОЛОГИЧЕСКАЯ

КАРТА СССР

МАСШТАБА 1:200 000

СЕРИЯ ПРИБАЙКАЛЬСКАЯ

Лист N -49-ХХIII

Объяснительная записка

Составитель *B.H.Гусев*
Редактор *P.M.Хренов*

Утверждено Научно-редакционным советом ВСЕГЕИ
4 февраля 1965г., протокол № 6

ВВЕДЕНИЕ

Территория листа №49-ХIII расположена в пределах Баунтовского и Еравнинского районов Бурятской АССР и ограничена координатами $53^{\circ}20' - 54^{\circ}00'$, с.ш. и $112^{\circ}00' - 113^{\circ}00'$, в.д.

Исследованная площадь находится в южной части Бийтимского плоскогорья и характеризуется пологими формами рельефа, небольшими относительными и абсолютными превышениями. Максимальные абсолютные высоты достигают здесь 1456 м. Превышения водоразделов над днищами долин составляют 100-250 м. Основной орографической единицей является хр. Бийсихан, протягивающийся в северо-восточном направлении. Он слабо расчленен, имеет широкие слабовыпуклые вершины. Северо-восточная часть площади обладает слабохолмистым рельефом с редкими куполовидными возвышенностями, характерными для базальтового плато. Ограничительными формами рельефа являются долина Енисея, Атаганская, Бугульская и Енисейская впадины, вытянутые преимущественно в северо-восточном направлении. Размеры их небольшие: длина колеблется от 10 до 20 км, ширина - от 5 до 10 км.

Речная сеть района принадлежит бассейнам рек Витима и Большой Амалата. Наиболее крупными притоками р. Витима являются: Джалыца, Купай, Атланта, Бутуй, Аихарок, Могон, Енисей. К бассейну р. Большой Амалата относятся реки Амгуца, Айтасе, Джиланда. Все реки района несудоходны.

Климат описываемого района резко континентальный. Минимальная температура -45°C , максимальная $+30 - 35^{\circ}\text{C}$. Среднегодовая температура -6°C . Среднее годовое количество осадков не превышает 350-400 мм. Повсеместно развита многолетняя мерзлота.

Растительность района горно-таежная. Преобладает лиственница, покрывающая все горные склоны и волгоразделы. В долинах рек растут также береска и осина. Животный мир очень разнообразен.

Здесь встречаются все представители сибирской таежной фауны.

Населенных пунктов на описываемой территории нет. Ближайшие поселки Романовка и Джилинда находятся в 5 и 15 км от западной границы площади. Основными средствами связи в пределах изученного района служат вычурный транспорт. В юго-восточной части площади проходит шоссейная дорога, соединяющая с. Багдарин с г. Улан-Удэ.

Первые сведения о геологии района были получены в результате работ И.А.Лопатина (1861 г.), А.К.Мейстера (1912 г.), В.К.Котульского, Н.И.Святского, Н.А.Лемина (1909-1913 гг.). Материалы, полученные в процессе этих исследований, дают лишь общие представления о геологическом строении района.

Более детальные исследования начались лишь с 40-х годов текущего столетия. Первые такие работы проведены в 1940-1941 гг. трестом "Баргузинззолото" по р.Витиму и его притокам. В результате этих работ было сделано заключение о бесперспективности района на золотоносные россыпи.

В 1940 г. вдоль долины р.Витима, на участке от с.Романовки до устья р.Калужана, проводились работы трестом "Золоторазведка" под руководством В.А.Монина. Представленная геологическая карта масштаба 1:200 000, составленная на глазомерной основе, является схематичной.

В 1940 г. В.В.Домбровский, А.С.Кульчицкий составили по данным различных исследователей схематическую геологическую карту масштаба 1:500 000.

В 1941-1942 гг. А.С.Кульчицкий, М.В.Чекранова проводили геологическую съемку масштаба 1:1 000 000 Баргузино-Витимского междуречья. Ими были выделены архейские и протерозой-кембрийские породы. Последние сопоставлялись с трехъярусным байкальским комплексом. Кроме того, авторы отмечают, что исследованная площадь малоперспективна на обнаружение золотых и редкometальных месторождений.

В 1945 г. в южной части описываемой территории была проведена геологическая съемка в масштабе 1:200 000 под руководством С.Н.Коровина. Работы проводились на глазомерной топографии, поэтому составленная карта имеет много неточностей и схематична. С.Н.Коровин выделил различные метаморфические породы архея, протерозоя и протерозоя-кембрия. Магматические породы отнесены к каледонскому возрасту. По книзу ульяновской им были найдены в извествняках остатки археопланк. С.Н.Коровин считает район бесперспективным на золото и редкие металлы.

В 1948 г. К.П.Калинина проводила геологическую съемку масш-

таба 1:1 000 000 в пределах территории листа №49. Работы проводились на глазомерной топографии, и большая часть площади исследована аэроизуальным наблюдением. На площади листа ее были выделены нижнепротерозойские метаморфические породы, протерозойские гранитоиды и кайнозойские базальты.

В 1957 г. проведена аэромагнитная съемка масштаба 1:200 000 В.В.Сусленниковым. По данным съемки в районе пади Тетрах им выделена крупная магнитная аномалия северо-восточного простирания. Кроме того, выделено несколько мелких аномальных зон, связанных с базальтами.

В этом же году территория листа была покрыта аэромагнитной и аэrorадиометрической съемками А.Г.Гарифуллиным и Ф.М.Боровской. Ими составлена (1958 г.) весьма схематическая геологическая карта масштаба 1:200 000 и установлено два генетических типа уранового оруднения. В верховье р.Джилинды выделено поле с повышенной гамма-активностью (более 24 гамм).

В 1957-1960 гг. в сопредельном районе (бассейны рек Курбы, Итаницы, Амбуя, Кынджата, Аталаиги, Витимканы) проводила исследования группа научных сотрудников Восточно-Сибирского геологического института Сибирского отделения АН СССР под руководством П.М.Хренова. В итоге исследований ими даны новые данные о широком развитии в этом районе нижнепалеозойских геосинклинальных образований и раннекаледонских интрузий. Разработана новая схема стратиграфии и математизация.

В 1958 г. В.Д.Захаров проводил геофизические работы в бассейне р.Витима и его притоков - Кынджата, Телемугна, Аталаиги, Борокчана. Им была составлена схематическая геологическая карта масштаба 1:50 000. В западной части площади листа отмечены нижнекембрийские отложения.

В 1960-1963 гг. описываемая территория покрыта гравиметрической съемкой в масштабе 1:1 000 000 П.А.Половым. Данными работами выделены глубинные разломы и уточнены контуры мезо-кайнозойских впадин.

В 1960 г. в районе Сайха-Колган-Лойтотского междуречья Н.И.Белозеровым проводились поисково-разведочные работы по оценке Амадатского массива нефелиновых сienитов.

В 1962 г. площадь листа покрыта аэромагнитной и аэrorадиометрической съемками А.И.Шильковым. Им выделен ряд мелких магнитных аномалий и подтверждена магнитная аномалия в пади Тетрах. В этом же году в районе устья р.Алхарок В.Д.Цуденковым была проверена группа магнитных аномалий. Им установлено, что магнитные аномалии связаны с массивами диоритов. Признаков, указыва-

цих на наличие железорудных проявлений, не обнаружено.

В 1963 г. в районе пади Тетрах В.Л.Дунековым вторично было проверено магнитная аномалия. Конечной целью этих работ было определение места для постановки буровых работ.

В 1963-1964 гг. магнитная аномалия в пади Тетрах была разбурена. Пройденные буровые скважины до 400 м не вышли за пределы базальтов.

При составлении геологической карты, карты полезных ископаемых территорий листа №-49-ХIII и общегеологической записи использованы личные исследования автора за 1961-1963 гг. и учтены материалы геологосъемочных работ масштаба 1:200 000, проведенных на прилегающих площадях (Плещинев, 1954-1956 гг.; Бугдатов, 1957-1959 гг.; Малышев, 1958-1960 гг.).

СТРАТИГРАФИЯ

Большая часть территории листа №-49-ХIII сложена вулканогенными и интрузивными образованиями различного возраста и лишь около 30% ее занято осадочно-метаморфическими породами, относящимися по возрасту к нижнему и верхнему протерозою, нижнему кембрию, верхнему кембрию - нижнему ордовику, триасу, нижнему мелу, неогену.

ПРОТЕРОЗОЙ

Нижний протерозой (?)

Гаргинская серия

Т а л а л и н с к а я с в и т а (Рт., ? т/). Породы тальниковой свиты преимущественно развиты в бассейнах рек Антасе и Витчика и небольшой ксенолит их наблюдается на водоразделе рек Аксахана - Джалинды. В составе свиты участвуют разнообразные гнейсы, сланцы, кварциты, известняки. Все они связаны между собой постепенными переходами и нередко наблюдается их переслаивание (Лусев, 1963).

Описываемая свита наиболее хорошо изучена в бассейнах рек Талали, Бомбадло, Салбули (Осокин, 1960), Малышев, 1961). Составлены разрезы свиты в указанном районе с отложениями, разви-

х/ Несколько с соседними листами (№-49-ХIII, №-49-ХIV) в наименовании свит протерозоя и кембрия и возраста базальтов связана с получением новых материалов.

тыми в бассейнах рек Антасе и Витчика, устанавливаются следующая стратиграфическая последовательность их: нижние части свиты включают в себя биотит-амфиболовые, амфибол-широкосеновые гнейсы и сланцы. В верхних частях свиты намечается преобладание биотитовых амфиболовых, силиманин-андезит-кордиеритовых сланцев с маломощными прослоями кристаллических известняков и кварцитов.

Гнейсы - это средне-, мелкозернистые темно-серые и серые породы с ясно выраженной гнейсовидной текстурой. Они имеют гранобластовую, лепидогранобластовую, гетерогранобластовую и неметагранобластовую структуры. Глянцевые породообразующие минералы являются: плагиоклаз (25-40%), кварц (25-30%), биотит (25-30%), роговая обманка (20-30%), шпакенит (30-35%). Вторичные минералы представлены: эпиломом, хлоритом, серпентитом, лейкоксеном, мусковитом. Из акцессорных минералов встречаются: сфен, циркон, апатит, рудный минерал.

Сланцы представляют собой мелко- и среднезернистые породы темно-серого или темно-зеленого цвета. По минеральному составу среди них выделяются: амфиболовые, биотитовые, эпилом-амфиболовые, силиманин-андезит-кордиеритовые разновидности.

Биотитовые и амфиболовые сланцы - темно-серые и зеленоватые, с плотного сложения породы, отличающиеся от вышеописанных гнейсов меньшим содержанием полевых шпатов и меньшими размерами минералов. Структура их неметагранобластовая, текстура сланцеватая. Минеральный состав их следующий: амфибол (35-70%), биотит (35-50%), кварц (20-25%), кальцитовый полевой шпат (10-15%), в некоторых случаях эпилом (5-10%). Аксессорные минералы представлены сфеном, цирконом, рудным минералом.

Силиманин-андезит-кордиеритовые сланцы образуют маломощные прослои и линзы среди биотитовых и амфиболовых сланцев и наблюдаются на контактах с интрузиями. Мощность их составляет первые десятки метров. Это темно-серые и мелко-, среднезернистые породы. В их составе главную роль играет кварц (25-30%), полевые шпаты (10-20%), биотит (20-25%), кордиерит (10-30%), фибролит (5-10%), андалузит (5-10%). Из вторичных минералов встречаются: мусковит, серпентит, пеллит. Аксессорные минералы представлены: сфеном, цирконом, рудным минералом.

Кварциты отмечаются среди силиманин-андезит-кордиеритовых сланцев, образуя прослои мощностью в 30-50 м. Макроскопически это серые и светло-серые породы. На поле кварца приходится 90-95% объема породы. В виде примеси присутствуют мусковит и силикат. Из акцессорных минералов встречаются: сфен, циркон. Структура их лепидогранобластовая, текстура - неясносланцеватая.

Известники обычно мелкокристаллические и светло-серые, имеющие гранобластовую структуру и массивную текстуру; основным минералом является кальцит (95%), образующий изометричные зерна. В качестве примесей присутствуют редкие зерна кварца, калиевого полевого шпата, рудного минерала и чешуек мусковита.

Общая мощность свиты - 1500-2000 м.

По степени метаморфизма породы талалинской свиты отвечают зелено-сланцевой и амфиболитовой фации. Волнистые контакты с интрузиями наблюдаются более сильный метаморфизм, выражавшийся в образовании силимандит-андезаит-кордимеритовых сланцев, тремолитизированных известняков и эпидот-прироксеноевых скарнов.

Для отнесения этих пород к талалинской свите нижнего протерозоя послужили следующие основания:

1. Все описанные метаморфические породы прорываютя верхне-протерозойскими гранитоидами баргузинского комплекса.

2. Породы, расположенные в бассейнах рек Ангасе и Витима, являются непосредственным продолжением образований, выделенных в талалинскую свиту на соседней площади (лист № 49-ХХIV, Машев, 1961Ф), а также хорошо сопоставляются с породами этой свиты, распространенными в бассейнах рек Талали и Салдумы (Осокин, 1960Ф).

ВЕРХНИЙ ПРОТЕРОЗОЙ (?)

Витиманская серия

Т и л и м с к а я с в и т а ($Pt_3?$, t^f). Отложения свиты представлены преимущественно карбонатными породами с незначительными прослойками биотитовых и амфиболовых сланцев. Они распространены в бассейнах рек Большой Амалат и Сиркты (Гусев, 1962Ф).

В бассейне р.Большой Амалата представлены нижние части разреза этой свиты (снизу вверх):

1. Амфиболово-карбонатные сланцы 40 М
 2. Светло-серые известняки 30 "
 3. Биотитовые сланцы 10 "
 4. Амфибол-эпидотовые сланцы 400 "
 5. Светло-серые известняки 100 "
 6. Биотитовые сланцы 150 "
 7. Светло-серые известняки 100 "
 8. Амфибол-карбонатные сланцы 130 "
 9. Светло-серые известняки 780 "
- В бассейне р.Сиркты обнажены верхние части разреза (снизу вверх):

№ об- раз- па	Содержание, %							П.п.п.
	SiO ₂	Al ₂ O ₃	Fe ₂ O ₃	CaO	MgO	MnO	F ₂ O ₅	
I	-	0,14	0,21	54,24	0,8	0,8	0,01	43,8
2	0,52	0,13	1,16	55,12	1,42	0,02	0,03	41,16

П р и м е ч а н и е. I - известник, верховье р.Большой Амалата; 2 - известник, среднее течение р.Сиркты.

Сланцы, входящие в состав свиты, представлены биотитовыми и амфиболовыми разновидностями. Макроскопически это темно-серые, зеленовато-серые породы. Структура их гранобластовая и граногеноминеральная, текстура - сланцеватая. Главными породообразующими минералами, присутствующими в различных сочетаниях, являются: кварц (35-40%), амфибол (25-30%), биотит (15-20%), карбонат (20-25%), эпидот (20-25%), полевые шпаты (60-65%). Вторичные минералы представлены эпидотом, хлоритом, серицитом и карбонатом. Из акцессорных минералов встречаются: сфинкс, циркон, рудный минерал. Контактовый метаморфизм выражается в скарнированием, окварцеванием, мусковитизации и интенсивной тремолитизации известняков.

Талымская свита условно относится к верхнему протерозою на основании того, что ее породы прорываютя гранитоидами баргузинского комплекса (Булгатов, 1960Ф; Гусев, 1964Ф), а в районе пос.Джалила перекрываются отложения нижнего кембрия (химильдинской свиты).

Таблица I

10. Серые доломитизированные известняки	200 М
II. Биотитовые сланцы	25 "
12. Амфиболово-карбонатные сланцы	55 "
13. Серые полосчатые известняки с линзами амфибо- лово-карбонатных сланцев	80 "
14. Биотитовые сланцы	200 "
15. Серые битуминозные известняки	800 "

Известники имеют светло-серую, серую и темно-серую окраску.

Текстура массивная, но местами отмечаются полосчатые разности. Состоит они из кальцита (85-95%) и не более 5% примесей (мусковита, магнетита, кварца, хлорита, рудного минерала).

Химический состав известняков приведен в табл.I.

П А Л Е О З О Й

КЕМЕРИЙСКАЯ СИСТЕМА

Н и ж н и й с р е д n и й o т д e л n

Алданский ярус

Х и м г и л ь д и н с к а я с в и т а ($\text{ст}_{1+2} \frac{1}{m}$). Породы этой свиты распространены на водоразделе рек Баркасун, Укият, Джилинчи, по право- и левобережью р.Агаданы, в бассейне рек Харгуджи, Каменной. В ее составе преобладают аркозовые, полимиктовые песчаники, алевролиты, конгломераты, эпидотовые, эпидот-хлоритовые и актинолит-эпидотовые сланцы с малоизмененными прослоями кисличных альбузинов.

Наиболее полный разрез свиты изучен в долине нижнего течения р.Джилинчи и представлен в следующем виде (снизу вверх):

1. Конгломераты	• • • • •	Мощность неизвестна	•	1,5"
2. Зеленовато-серые полимиктовые песчаники	• • • • •	25 м	10 "	
3. Светло-серые аркозовые песчаники	• • • • •	10 "	1,5"	
4. Эпидот-хлоритовые сланцы	• • • • •	10 "	10 "	
5. Серые аркозовые песчаники	• • • • •	10 "	15 "	
6. Эпидот-хлоритовые сланцы	• • • • •	100 "	100 "	
7. Желтовато-серые полимиктовые песчаники	• • • • •	50 "	50 "	
8. Алевролиты	• • • • •	200 "	40 "	
9. Актинолит-эпидотовые сланцы	• • • • •	800 "	40 "	
10. Зеленовато-серые аркозовые песчаники	• • • • •	110 "	330 "	
11. Эпидот-хлоритовые сланцы	• • • • •			
12. Зеленые аркозовые песчаники	• • • • •			
13. Эпидот-актинолитовые сланцы	• • • • •			
14. Зеленные аркозовые песчаники	• • • • •			
15. Актинолит-эпидотовые сланцы	• • • • •			
16. Алевролиты	• • • • •			
17. Актинолит-эпидотовые сланцы	• • • • •			
18. Зеленные полимиктовые песчаники	• • • • •			
19. Светло-серые аркозовые песчаники	• • • • •			
20. Зеленые полимиктовые песчаники	• • • • •			
21. Светло-серые аркозовые песчаники	• • • • •			
22. Актинолит-эпидотовые сланцы	• • • • •			
23. Алевролиты	• • • • •			

Верхние части разреза свиты изучены по правому и левому берегам долины р.Харатуки (снизу вверх):

24. Алевролиты	• • • • •	240 м
25. Кварцевые порфирты	• • • • •	30 "
26. Алевролиты	• • • • •	70 "
27. Зеленовато-серые аркозовые песчаники	• • • • •	200 "
28. Алевролиты	• • • • •	100 "
29. Кварцевые порфирты	• • • • •	30 "
30. Зеленовато-серые аркозовые песчаники	• • • • •	50 "
31. Кварцевые порфирты	• • • • •	40 "
32. Зеленовато-серые аркозовые песчаники	• • • • •	240 "
33. Алевролиты	• • • • •	400 "
34. Зеленовато-серые аркозовые песчаники	• • • • •	200 "
35. Кварцевые порфирты	• • • • •	140 "
36. Аркозовые песчаники	• • • • •	100 "
37. Кварцевые порфирты	• • • • •	40 "
38. Алевролиты	• • • • •	350 "
39. Актинолит-амфиболовые сланцы	• • • • •	100 "
40. Эпидотовые сланцы	• • • • •	200 "
41. Серые аркозовые песчаники	• • • • •	20 "
Общая мощность разреза свиты – 3000–4000 м.		
Конгломераты, залегающие в основании хамзалидинской свиты, установлены нами впервые в правом борту кlefta, являющегося правым притоком р.Джилинчи. Состав гальки конгломератов разнообразен: известники, граниты, кварциты, сланцы, амфиболиты. Обломочный материал совершенно не отсортирован. Величина гальек колеблется от долей сантиметров до вантов в 30–40 см. Цементом конгломератов является темно-серый и зеленовато-серый песчанистый мергелий.		
Песчаники и алевролиты сложены утесоватыми зернами пачистированного каменистого полевого шпата, сернистизированного пачистого клая и слабо окатанного кварца.		
Пемент в покрытии большинстве представлен глинисто-карбонатным материалом, по которому идет развитие слюдисто-шпатового агрегата, определяющего незначительные области песчаников. Иногда процесс эпидотизации развит широко и определяет зеленый цвет породы.		
Сланцы обладают криптозернистой и микролепидобластовой структурой, имеют полосчатую текстуру и серовато-зеленоватый цвет. Главным породообразующими минералами являются: полевошпатовый агрегат (60–65%), серцит (12–15%), карбонат (8–10%), кварц (3–10%), актинолит (10–15%), эпидот (15–20%). По преобладанию того или		

другого минерала сланцы разделяются на эпидотовые, эпидот-хлоритовые, актинолит-эпидотовые.

Кварцевые породы — светло-серые и желтовато-серые рассланцовые породы. Структура поройтоновая и блокстолбчатая с микротрещинами и микролейденгольфовой основной массой. Вкрапленники представлены кварцем, птициклизом и кальцитом полевым шпатом. Основная масса состоит из мелкозернистого кварца, полевого шпата и сериита. Из акессорных минералов присутствуют циркон, апатит, рудный минерал.

До сих пор относительное положение химильдинской свиты в разрезе палеозойских отложений точно не установлено. Известны лишь некоторые противоречивые взаимоотношения с горизонтом однодиапазонной свиты, которая охарактеризована нижнекембрийской фауной динской свиты, которая находит Харчиловка и Химильда. По представлениям В.Г.Беличенко и др. (1962) отложения химильдинской свиты на водоразделе рек Лев.Одьинды и Химильды слагают крылья крупной синклинальной структуры, в ядре которой выходит известняки одиандынской свиты. Наблюдениями М.М.Дзамара и Ю.С.Тарасова не обнаружена такая структура в данном районе. Исходя из того, что на юго-западе листа химильдинская свита трансгрессивно налегает на верхне-протерозойские образования талимской свиты, в свою очередь город Химильдинской свиты прорваны гранитоидами витимского комплекса и присутствует в гальке конгломератов исташинской свиты (верхний кембрий — нижний ордовик), которая также трансгрессивно налегает на химильдинскую свиту, считаем, что возраст ее условно нижнекембрийский.

ИСТАШИНСКАЯ СИСТЕМА, ВЕРХНИЙ ОТДЕЛ — ОРДОВИЙСКАЯ СИСТЕМА, НИЖНИЙ ОТДЕЛ

Исташинская свита (сп- $\frac{3}{2}$ - O_1 , i_j). Породы свиты распространены на водоразделе рек Аяна — Джалынды, на склонах хр.Бейсихан и в левом борту долины р.Бог.Амалата. В состав свиты входят: конгломераты, гравелиты, арковые песчаники, алевролиты. Для них характерными признаками являются пестроцветная окраска (красноватая, бурая, желтая, зеленовато-бурая), почти полное отсутствие метаморфизма, элементы косой слоистости, волноприбойные знаки, знаки течения.

Разрез свиты в бассейне рек Харатуки, Сыргы следующий (снизу вверх):

1. Конгломераты
2. Чертежование небольших прослоев к линз арко-

зовых песчаников, гравелитов, конгломератов	• • • • •	150 м
3. Лиловые, серые песчаники	• • • • •	200 "
4. Розовато-серые алевролиты	• • • • •	100 "
5. Лиловые арковые песчаники	• • • • •	600 "
Мощность свиты по разрезу — 1450 м.		
На левом борту долины р.Бог.Амалата разрез исташинской свиты представлен в следующем виде (снизу вверх):		
1. Светло-серые мелкозернистые алевролиты	• • • • •	600 м
2. Зеленовато-серые алевролиты	• • • • •	130 "
3. Лиловые мелкозернистые песчаники	• • • • •	160 "
4. Серые арковые песчаники	• • • • •	40 "
5. Зеленые алевролиты	• • • • •	10 "
6. Зеленовато-серые песчаники	• • • • •	140 "
7. Лиловые песчаники	• • • • •	200 "
Мощность свиты по разрезу — 1280 м.		
Общая мощность свиты — 2000—2500 м.		

Горизонт базальных конгломератов в основании исташинской свиты установлен нам на протяжении 40 км, начиная от верхней ключа Харчилы до левого борта нижнего течения р.Джилини. Простирание его в основном северо-восточное, иногда почти меридиональное. Виллема мощность конгломератов 400—500 м. Они имеют розовато-серую окраску и содержат хорошо окатанную гальку размером от 2 до 15 см, состоящую из сланцев, песчаников, розовых и светло-серых гранитов, кварца. Цементом служат розовато-серый, желто-серый и серый песчаник.

Песчаники — это лиловые, сиреневые, красные, серые, светло-серые породы с псамитовой и алевро- псамитовой структурами, массивной и слоистой текстурой. Состав они из полукатанных и утлотовых обломков кварца (40—50%), кальевого полевого шпата (10—20%), птициклизма (15—20%). Цементом служат мелкие зерна кварца, глинистые частицы, гидроокислы железа, хлорит, серицит.

Метаморфизм песчаников выражается в перекристаллизации цемента в агрегат субпараллельно ориентированных чешуек серицита и хлорита.

Алевролиты отличаются от песчаников размерами зерен обломочного материала. Структура их алевритовая, текстура массивная, полосчатая.

Отложения исташинской свиты трансгрессивно налегают на породы химильдинской свиты и в свою очередь перекрыты отложениями пачанхунтейской свиты триаса (Беличенко, 1961; Беличенко, 1962).

На основании этих данных возраст исташинской свиты определен условно как верхний кембрий — нижний ордовик.

М Е З О З О Й

ТРИАСОВАЯ СИСТЕМА

П а т а н - х у н т е ф с к а я с в и т а (*тсф*). Отложения патан-хунтейской свиты приурочены к северо-западному борту Бутусской впадины и зонам разломов северо-западного и северо-восточного простирания. В состав свиты входят кварцевые порфирь, альбитопорфирь, фельзит-порфирь, туры кварцевых порфиров, гидробрекчи, ортофиды, фельзиты.

Разрез свиты, составленный по р. Саргли, выглядит в следующем виде (снизу вверх):

	Содержание, %								
	1	2	3	4	5	6	7	8	9
1. Розово-серые ортофиды	•	•	•	•	•	•	•	•	30 М
2. Туры кварцевых порфиров	•	•	•	•	•	•	•	15 "	
3. Кварцевые порфиды	•	•	•	•	•	•	•	45 "	
4. Розовые рассланцованные кварцевые порфирь	•	•	•	•	•	•	•	15 "	
5. Туры кварцевых порфиров, переслаивающиеся с ортофидами	•	•	•	•	•	•	•	50 "	
6. Розовые альбитопорфирь	•	•	•	•	•	•	•	15 "	
7. Туры кварцевых порфиров и ортофидов	•	•	•	•	•	•	•	20 "	
8. Серые фельзит-порфиды	•	•	•	•	•	•	•	40 "	
9. Розово-красные кварцевые порфиды	•	•	•	•	•	•	•	20 "	
10. Серые фельзиты	•	•	•	•	•	•	•	35 "	
II. Ортофиды	•	•	•	•	•	•	•	15 "	
Общая мощность свиты по разрезу 300 м.									

Ортофиды имеют порфировую структуру, основная масса ортофидовая, текстура флюидальная. Породообразующими минералами являются: кварц, калиевый полевой шпат, плагиоклаз. Вторичные минералы: карбонат, альбит, эпилот, ликрок, гидроокислы железа. Из аксессориев встречается рудный минерал. Вкрапленники представляют собой короткопризматическими и таблитчатыми кристаллами плагиоклаза, калиевого полевого шпата. Величина вкрапленников колеблется от 0,7 до 1,3 мм.

Кварцевые порфирь и фельзит-порфирь имеют порфировую структуру с криптозернистой основной массой. Текстура массивная. Вкрапленники размером 1-2 мм представлены кварцем и полевым шпатом, в фельзит-порфирах - только полевым шпатом. Основная масса состоит из кварца, полевых шпатов. В качестве примеси присутствуют: хромит, апатит, сфеен, шпинел, рудный минерал.

Альбитопорфирь имеет розовую и красно-бурую окраску. Структура порфировая, основной массы - тонкозернистая. Минеральный состав:

калиевый полевой шпат (40-60%), альбит (25-30%). Вторичные минералы представлены: пелитом, серенитом, эпандитом, альбитом, гидроокислями железа.

Туры обладают кристаллической структурой, массивной или флюидальной текстурой. В составе обломочного материала содержатся кварц, плагиоклаз, калиевый полевой шпат, обломки эфузивов, микроФельзитов. Цементирующая масса состоит из кварца-полевошпатового агрегата. Химический состав пород свиты приведен в табл. 2.

Таблица 2

Компоненты	1	2	3	4	5	6	7	8	9
Na ₂ O	3,76	2,72	3,01	3,24	2,36	1,89	3,30	3,20	2,70
K ₂ O	5,65	4,24	6,12	6,51	5,02	4,17	1,15	1,90	2,0
P ₂ O ₅	0,04	0,10	0,04	0,04	0,14	0,14	0,10	2,0	0,09
П.п.	0,56	0,98	0,51	0,85	1,48	1,63	0,92	0,89	5,0
S ₀ ₃	-	-	-	0,02	0,85	0,82	-	-	-
H ₂ O	-	-	0,17	0,11	0,38	0,35	0,50	0,47	0,48
R ₂ O ₃	100,3	99,79	100,16	99,81	100,12	99,96	100,15	100,15	99,62

Числовые характеристики по А.Н.Заварикову

	I	2	3	4	5	6	7	8	9
S	73,47	72,47	73,59	74,71	69,59	66,53	69,56	67,82	67,51
a'	-	-	-	-	-	II,75	II,79	-	23,0
f'	18,23	31,43	32,56	30,55	33,95	23,24	46,62	40,49	42,50
m'	48,03	62,86	55,16	42,60	41,28	64,77	41,59	38,51	34,50
c'	33,74	5,71	12,22	26,85	24,77	-	-	20,98	-
n	45,20	50,0	42,47	43,21	41,75	41,06	80,91	72,22	61,10
φ	4,20	2,70	2,90	22,20	30,0	10,67	33,70	27,11	17,66
t	0,20	0,30	0,27	0,30	0,30	-	0,80	0,80	0,80
q	15,67	17,45	15,33	14,74	11,13	8,45	II,28	8,19	6,96
$\frac{a}{c}$	53,60	3,22	11,70	10,60	4,0	2,10	1,10	1,40	1,40

П р и м е ч а н и е. I - кварцевый порфир, среднее течение

р. Сырты; 2 - фельзит, верховье р. Сырты; 3 - фельзит-порфир, верховье р. Харагути; 4 - ортофир, верховье р. Харагути; 5 - фельзит-порфир, правый борт среднего течения р. Харагути; 6 - ортофир, левый борт среднего течения р. Сырты; 7 - альбогаббро, подраздел рек Сырты - Каменая; 8 - альбогаббро, верховье р. Харагути; 9 - альбогаббро, подраздел рек Сырты - Харагути.

Сопоставления приведенные анализы со средним составом подобных пород по Дэли, находим, что кварцевые порфириты отличаются повышенным содержанием кальция, магния и суммы шелочей. Фельзиты и фельзит-порфириты, ортофир и альбогаббро близки к среднему составу Трахита по А.Н. Заварницкому. Стратиграфическое положение паган-Хунтейской свиты определяется на основании сопоставления с отложениями паган-Хунтейской свиты, разбитыми на левобережье р. Улы, где возраст ее считается триасовым (Беличенко, 1962). В пределах описываемого района эти отложения застелают на породах исташинской свиты и встречаются в составе тальки континентальных единиц свиты.

ЮРСКАЯ СИСТЕМА

В е р х н и й о т д е л

Х и л о к с к а я с в и т а / . Верхняя подсвита (J₃ k₂)

Породы этой свиты непосредственно примыкают к бортам Бугайской Х/ Нижняя подсвита в пределах территории листа N-49-XIII отсутствует.

Химический состав пород хилокской свиты приведен в табл. 3.

Таблица 3

Компо-ненты	Содержание, %			Числовые характеристики по А.Н. Заварницкому		
	I	2	3	4	2	3
SiO ₂	45,38	47,32	50,64	a	12,26	9,63
TiO ₂	2,5	3,00	2,70	c	2,04	7,20
Al ₂ O ₃	12,18	16,91	12,22	b	32,26	23,18
Fe ₂ O ₃	13,59	10,02	13,63	s	53,44	59,88
FeO	1,75	1,91	1,64	a'	22,8	7,3
MnO	0,08	0,16	0,09	m'	33,9	45,2
MgO	6,82	5,86	3,57	f'	41,4	47,4
CaO	7,78	6,96	7,84	J	3,6	39,3
Na ₂ O	3,54	2,70	2,08	t	3,9	4,9
K ₂ O	3,15	2,15	2,36	-Q	19,68	16,59
П.п.п.	3,02	1,89	3,00	a/c	6	1,3
SO ₃	0,02	0,03	0,05	h	62,5	66,1
H ₂ O	0,16	0,48	0,13			58,3
R ₂ O ₃	99,97	100,39	99,95			

П р и м е ч а н и е. I - базальты, верховье р. Ашыл; 2 - базальты, верховье р. Талын; 3 - базальтовый порфирит, верховье р. Талын.

и Ендинлинской впадин. В состав ее входят базальтовые порфириты, базальты, туфы. Общий фон окраски пород темный, темно-серый, красноватый, зеленовато-серый и буроватый. Среди них наблюдаются плотные и пористые разности, поры которых заполнены кальцитом и исландским шпатом.

Базальты, базальтовые порфириты имеют интересную структуру, долеритовую, гиалоплитовую и микролитовую структуры основной массы. Порфировые включения представлены лабрадором, по которому развиваются серидит, альбит, кипноцизит. Основная масса состоит из зерен плагиоклаза, промежутки между которыми заполнены вулканическим стеклом и измененными вторичными минералами: хлоритом, серицитом, эпидотом, карбонатом, рудным минералом.

Туфы обладают лягушачьей текстурой. Обломочная часть составляет 85-95% обеих пород и представлена полевыми шпатами и обломками эффиузивного пастозного и основного состава. Основная масса состоит из нераскрытии стекла. Мощность свиты 400-450 м.

Составляя химические анализы этих пород со средними содержаниями пород, по Эзли, находит, что они очень близки по составу к анальцимовым базальтам, отличающимся от таковых меньшим содержанием кальция и магния, зато значительно повышается сумма железа и щелочей.

Возрастное положение верхней подсвиты хилокской свиты устанавливается на основании того, что она залегает на размытой поверхности гранитоидов витиманского комплекса (правый борт р. Витима) и перекрываетсь породами ендоиндинской и зазинской свит (правый борт р. Бутуя). Абсолютный возраст, определенный по образцам базальтовых порфиритов, составляет 135 млн. лет^{Х/}, что соответствует верхней свите. Кроме того, описываемые отложения полностью состоят из верхней подсвиты хилокской свиты, развитой в Удино-Кудунском междууречье, где она залегает на Удинской свите и перекрываетсь отложениями гусиноозерской серии (Мареев, 1964), и в районе хилокской впадины (Флоренсов, 1960, В.А. Новиков, 1963г.).

МЕДОВАЯ СИСТЕМА

Нижний отдел

Гусиноозерская серия

Нормально-осадочные отложения нижнего мела развиты в пределах Ендоиндинской и Бутуйской впадин. По особенностям lithологии пород, на основе геофизических и буровых данных эти отложения подразделены на две свиты: ендоиндинскую и зазинскую.

Ендоиндинской и Бутуйской впадин. По особенностям lithологии пород, на основе геофизических и буровых данных эти отложения подразделены на две свиты: ендоиндинскую и зазинскую.

Е н д о и н д и н с к а я с в и т а (С ч 1 е п). Отложения свиты выходят на дневную поверхность в краевых частях Ендоиндинской впадины. Обнажены они очень плохо. Практически с поверхности не обнаружено ни одного коренного обнажения. Разрез свиты изучен по данным буровых скважин, пройденных в процессе геологической съемки, и выглядит следующим образом (снизу вверх):

1. Мелкогалечные конгломераты	• • • • •	17,7 м
2. Серые крупнозернистые песчаники с прослоями гравелитов	• • • • •	19,4 "
3. Мелкогалечные конгломераты	• • • • •	0,6 "
4. Крупнозернистые песчаники с прослоями глинистых сланцев	• • • • •	2,2 "
5. Мелкогалечные конгломераты	• • • • •	0,6 "

X/ Определение лаборатории абсолютного возраста БНУ.

6. Гравелиты с прослоями темно-серых глинистых сланцев	• • • • •	3,9 м
7. Крупнозернистые песчаники с прослоями гравелитов	• • • • •	3,5 "
8. Крупногалечные конгломераты	• • • • •	33,8 "
9. Гравелиты с прослоями серых среднезернистых песчаников	• • • • •	3,5 "
10. Мелкогалечные конгломераты	• • • • •	4,5 "
II. Среднезернистые серые песчаники	• • • • •	1,9 "
Нижние части разреза свиты наблюдаются на левом берегу р. Витима (Мальшев, 1961г), где залегают (снизу вверх):		
1. Грубозернистые песчаники с обуглившимися растительными остатками, налегающие на граниты витиманского комплекса	• • • • •	15 м
2. Среднезернистые серые песчаники	• • • • •	40 "
3. Мелкогалечные конгломераты	• • • • •	75 "
Общая мощность свиты 200 м.		
Конгломераты имеют серую и зеленовато-серую окраску. Размеры галек и валунов варьируют от 1 см до 1 м. В их составе преобладают метаморфические породы, пегматиты, кварцы, граниты, сланцы витиманского и кундайского комплексов, айнузы чаган-хунтейской свиты, базальты хилокской свиты.		
Цемент представлен песчанистым материалом. Валуны и галька имеют различную окатанность: от хорошей до угловатой или совершенно неокатанной.		
Траверлиты и песчаники — это серые и светло-серые массивные, плотные, иногда сладкосланцевитые рыхлые разности с хорошо выраженной слоистостью. В их состав входят: кварц (40–50%), полевые шпаты (30–40%), последние часто целикитизированы и серпентинированы. Цемент глинисто-песчанистый, базальный. Возраст отложений ендоиндинской свиты определяется как нижнемеловой на основании того, что они имеют постепенный переход с породами зазинской свиты, содержащими нижнемеловую фауну.		
З а з и н с к а я с в и т а (С ч 2 э). Породы зазинской свиты распространены в пределах Бутуйской и Ендоиндинской впадин. В Ендоиндинской впадине они сохранились в мульдобразных прогибах. Наиболее крупные из них имеют площадь около 3–18 км ² . Отложения свиты плохо обнажены. Разрез их изучен по буровым скважинам, где наблюдаются (снизу вверх):		
1. Песчаники	• • • • •	3,85 м
2. Алевролиты с прослоями песчаников и глинистых сланцев	• • • • •	14,75 "

3. Мергель	• • • • •	I	м
4. Алевролит с прослойками песчаников	• • • • •	5,8	"
5. Песчаники	• • • • •	4,7	"
6. Алевролиты с редкими прослойками песчаников и глинисто-утливых сланцев	• • • • •	9,6	"
7. Глинистые и глинисто-карбонатные сланцы с прослойками песчаников	• • • • •	2,2	"
8. Алевролиты с прослойками глинистых сланцев	• • • • •	4,1	"
9. Песчаники с редкими прослойками светло-серых алевролитов	• • • • •	5,25	"
10. Глинистые сланцы	• • • • •	2	"
II. Песчаники с прослойками алевролитов и утилистых сланцев	• • • • •	20	"
12. Песчаники, переслаивающиеся с алевролитами	• • • • •	12	"
13. Глинистые сланцы с прослойками алевролитов	• • • • •	22	"
14. Конгломераты с прослойками песчаников и аргиллитов	• • • • •	20	"
15. Травертин	• • • • •	12	"
16. Песчаники с прослойками аргиллитов	• • • • •	22	"
17. Аргиллиты с прослойками песчаников	• • • • •	20	"
18. Аргиллиты	• • • • •	18	"
19. Песчаники с прослойками аргиллитов	• • • • •	26	"
20. Аргиллиты	• • • • •	26	"
21. Песчаники	• • • • •	14	"
22. Аргиллиты с прослойками песчаников	• • • • •	113	"
23. Песчаники с прослойками травертинов и глинистых сланцев	• • • • •	31	"
24. Песчаники с прослойками алевролитов и глинистых сланцев	• • • • •	85,5	"

Мощность приведенного разреза - 546,75 м.

В связи с тем, что скважина не вышла из отложений Зазинской свиты, а глубина выщины в данном месте по результатам ВЭЗ составляет 1000 м, мы считаем, что общая мощность свиты составляет не менее 700 м.

Песчаники и гравелиты представляют собой серые, светло-серые, бурые разности. Структура их псамитовая, псаммитово-алевритовая, текстура слоистая. В состав песчаников входят зерна кварца и полевых шпатов, иногда присутствуют редкие яшточки биотита. Цемент глинисто-карбонатно- железистый, порозового типа.

Алевролиты - серые, зеленовато-серые плотные породы, с характерным изломом и мелкоплитчатой отдельностью, массивные или слоистые. В глинистом материале рассеяны мелкие зерна кварца, поле-

вого шпата, слюды. Размер зерен 0,01-0,1 мм. В алевролитах оснащена фауной.

Утилистые сланцы - темно-серые, почти черные тонкослоистые породы, легко расщепляющиеся на тонкие пластинки. Содержат в себе большое количество обутившихся остатков растений. Сланцы легко воспламеняются, издавая запах резины.

Породы Зазинской свиты согласно налагают на породы единодинской свиты с постепенным переслаиванием. Возраст ее определяется как нижнемеловой на основании находок фауны: *Limnospuridea* sp., *Zelajna* sp.

Фауна обнаружена в скважине на глубине 94 и 262 м.

КАИНОЗОЙ

НЕОГЕНЕВАЯ СИСТЕМА

На описываемой территории очень широко распространены базальты (β_N), которые занимают площадь около 1500 км² в бассейне рек Бол.Амалата, Аянгасе - Джиличи, Тетракха. В современном срезе представляют собой холмистое плато, сложенное лавами. На основании изучения лавовых потоков нам выявлено 18 вулканических аппаратов. Относительная высота их колеблется от 25 до 70 м. Расположение вулканических аппаратов хорошо подчеркивается тектонической зоной разломов, вытянутой в северо-восточном направлении. Они хорошо сохранились и имеют конусовидную форму с усеченной вершиной и ясно выраженными кратерами. Куполы сложены пирокластическим материалом: лапиллами, вулканическими бомбами. Базальтовые породы в бортах долин образуют скальные обнажения, отвесные стены которых достигают 50 м.

Разрез базальтовых потоков изучен по данным буровых скважин, проходящих в долине р.Тетракха, где залегают (снизу вверх):

1. Аналитимовый гиалобазальт	• • • • •	20	м
2. Туфи гиалобазальтов	• • • • •	12	"
3. Пористый гиалобазальт	• • • • •	62	"
4. Оливиновый гиалобазальт	• • • • •	86	"
5. Плагиоклазовый гиалобазальт	• • • • •	16	"
6. Оливиновый гиалобазальт	• • • • •	6	"
7. Анальцимовый гиалобазальт	• • • • •	57	"
8. Андезито-базальт	• • • • •	62	"
9. Пористый андезито-базальт	• • • • •	30	"
10. Миндалекаменный гиалобазальт	• • • • •	2	"
11. Пузыристый базальт	• • • • •	2	"
12. Миндалекаменный базальт	• • • • •	16	"

13. Пузыристый базальт 2 м
14. Мигдалекаменный базальт 32 "

общая мощность потоков базальтов 405 м.

Анdezito-базальты имеют порфироную структуру с гиалопилитовой, пилотакситовой, интерсерпельной, микролитовой основной массой. По текстурным признакам подразделяются на пузыристые, пористые и мигдалекаменные. Минеральный состав их: плагиоклаз (40-65%), пироксен (8-15%), стекло (30-45%), рудный минерал (13-27%).

Аксессорный минерал - апатит.

Гиалобазальты представлены плагиоклазовыми оливиновыми и альбимовыми разновидностями.

Структура их выстроена с гиалопилитовой, вариолито-стекловатой, гипогиаловой основной массой. Минеральный состав их: стекло (53-82%), плагиоклаз - андезин, альбим и оливин.

Туры - породы красно-бурового цвета, пористые, очень легкие на вес, с включением обломков базальтовых пород. Состав на 90-95% из красно-бурового стекла, среди которого наблюдаются единичные лейсты плагиоклаза и пироксена. Химический состав базальтов приведен в табл. 4.

Таблица 4

Компо-	Содержание, %							
	1	2	3	4	5	6	7	8
SiO ₂	48,28	52,02	47,08	43,76	48,04	52,76	49,40	52,10
TiO ₂	2,0	0,88	2,20	2,80	2,50	2,50	0,85	0,84
Al ₂ O ₃	14,39	13,83	13,31	13,63	12,79	12,79	14,54	13,53
Fe ₂ O ₃	4,36	10,52	3,76	4,16	12,56	10,44	11,28	10,96
FeO	7,86	0,99	7,79	8,29	1,15	1,87	1,43	1,28
MnO	0,16	0,44	0,16	0,21	0,04	0,06	0,09	0,06
MgO	7,78	7,26	8,83	7,54	5,47	3,37	6,62	5,86
CaO	10,08	8,17	8,54	8,96	7,22	6,73	8,62	8,50
Na ₂ O	3,51	3,50	0,38	3,0	3,84	2,50	3,18	3,08
K ₂ O	1,50	1,77	1,30	1,90	3,31	2,82	1,74	1,97
P ₂ O ₅	0,43	0,34	0,40	0,24	0,55	0,61	0,30	0,34
П.п.п.	0,22	5,02	3,02	5,0	1,89	3,88	0,72	0,84
SO ₃	-	1,06	3,03	1,06	0,02	1,56	0,54	0,03

	1	2	3	4	5	6	7	8
H ₂ O	-	0,50	0,18	0,48	0,48	0,58	0,38	0,51
R ₂ O ₃	100,57	100,30	99,98	100,23	99,86	99,47	99,69	99,90

Числовые характеристики по А.Н.Заварыкину

Примечание. I - базальт, верховье р.Атланти; 2 - базальт, верховье р.Дыбрин-Джилины; 3 - базальт, верховье р.Бол. Амалата; 4 - альбимовы базальт, верховье р.Петраха; 5 - базальт, правый борт р.Амунды; 6 - базальт, верховье р.Джилины; 7 - базальт, правый приток р.Имы; 8 - базальт, верховье р.Ирана.

Приведенные химические анализы показывают, что эти породы отличаются от средних типов базальтов по Дэми большей суммой железа и цирконий.

Возраст их определяется как неогеновый^{x/}, на основании того, что они перекрываются отложениями чининской толщи, которые содержат в себе плиоценовую спору и пыльцу.

^{x/} Данные базальты как по петрографическим особенностям, так и химическому составу, мощности и условиям залегания очень напоминают аналогичные породы южной склона. Разделение их в значительной мере условное. По-видимому, после неогеновых базальтов скорее всего окажется неоднородным и более древним соразование. - Прим.ред.

П л и о п е н

Чининская толща (N_2^{ch}). Отложения, выделенные в эту толщу, являются озерно-болотными и расположены в пределах Верхне-Амалатской, Лжимандинской, Кореткондеганской, Аткарокской впадин. Представлены они галечниками, глинями, песками, валунниками, песчаниками.

В пределах Лжимандинской впадины, расположенной в междууречье Бурульзай - Джипиды, наблюдается следующий разрез этих отложений (снизу вверх):

1. Серые тонкозернистые пески с включениями вибрани- та	• • • • •	3,5 м
2. Темно-серые пески	• • • • •	1,5 "
3. Желтовато-серый песок	• • • • •	0,2 "
4. Темно-серые глины	• • • • •	1,5 "
5. Бурый мелкозернистый песок	• • • • •	0,2 "
6. Бурые глины с растительными остатками	• • • • •	1,7 "
7. Глинисто-песчанистые отложения с включениями вибранита	• • • • •	10 "
8. Галька и гравий	• • • • •	1,5 "
9. Черная глина с прослойками песка	• • • • •	1,0 "
10. Серая глина с примесью гравия, песка	• • • • •	0,9 ,
Мощность разреза составляет 22 м.		
Разрез этих отложений в Атландинской впадине представлен в следующем виде (снизу вверх):		
1. Кора выветривания лейкократовых гранитов	• • •	7,0 м
2. Галечник, сплентированный песком и глиной	• • •	2,0 "
3. Разнозернистый песок с галькой кварцитов, песча- нитков, гранитов	• • • • •	16,5 "
4. Тонкослоистая темно-серая глина с прослойками песка	• • • • •	1,5 "
5. Разнозернистые пески с прослойями глинистого ма- териала	• • • • •	5,0 "
6. Глина с обутившимися остатками растений	• • • • •	1,0 "
7. Мелкозернистый песок	• • • • •	1,0 "
8. Галечники, сплентированные песком	• • • • •	51,0 "
Общая мощность разреза - 84 м.		

Более полный разрез вскрыт буровой скважиной в Аткарокской впадине. Представлен он в следующем виде (снизу вверх):

1. Кругоалунные конгломераты. Валунный материал, неокатанный и неотсортированный. Представлен песчан-

кам, гранитами, диоритами, базальтами 3,5 м

2. Желтовато-серые песчаники 0,6 "

3. Мелко-, крупногалечные конгломераты 0,6 "

4. Гравелилы 0,7 "

5. Желтовато-серый песок 0,9 "

6. Среднегалечные конгломераты 0,7 "

7. Желтовато-серые песчаники 0,9 "

8. Мелкогалечные конгломераты 12,5 "

9. Желтовато-серый песок 0,8 "

10. Галечники 3,2 "

11. Песчано-гравийный материал 4,25 "

12. Супесь серого цвета 0,25 "

13. Гравелилы, сплентированные глинисто-желези-
стым материалом 5,8 "

14. Желтовато-серый песок 9,7 "

15. Желтовато-бурая супесь с примесью кварца 1,2 "

16. Желтовато-серый песок 1,8 "

Общая мощность разреза - 47,9 м.

В Верхне-Амалатской и Кореткондеканской впадинах разрезы на

глубину не изучались.

Сравнивая отложения чининской свиты в различных местах ис-
следованной площади, мы приходим к выводу, что все они единого
седimentационного цикла и только в зависимости от глубины эрози-
онного среза наблюдаются различные части единого разреза. Залегают
они на различах поверхностях различных осадочных, метаморфических,
интузивных, вулканогенных образований верхнего протерозоя, ник-
нето палеозоя,mezозоя и неогена.

Возраст этих отложений по панным спорово-пыльцевым анализам
определяется как плиоценовый. Характерными для них формами споры
и пыльцы являются: Riosca, Pinus, Tsiuga, Iglaus, Rhiz., Acer, Quer-
cus.

ЧЕТВЕРТИЧНАЯ СИСТЕМА

Четвертичные отложения представлены аллювиальными, озерными,
дельвиговыми и элювиальными образованиями и развиты по долинам
рек и в озерных котловинах. В возрастном отношении они подразде-
лены на Верхнечетвертичные и современные.

Верхнечетвертичные отложения (Q_{III})

Описываемые отложения слагают террасы высотой 15–20 м. Они сохранились в долинах рек Сирдемкыя и Джандыла. В их составе преобладают галечники, валуники, пески. Суглинки и глины встречаются в виде маломощных прослоев (0,3–0,5 м).

Разрез этих отложений изучен в долине р.Джолицци, где залегают (снизу вверх):

TOMES Y BIBLIOGRAFÍA

1. Песчано-галечный слой	• • • • • • • • • • • • • • • • • •	2,0 "	I, 3 м
2. Балунно-галечный слой с линзами грубозернистого песка	• • • • • • • • • • • • • • • • • •	0,6 "	
3. Желтоголубо-серый песок с редкой галькой	• • • • • • • • • • • • • • • • • •	0,5 "	
4. Глина	• • • • • • • • • • • • • • • • • •	0,3 "	
5. Суглинок	• • • • • • • • • • • • • • • • • •	5,0 "	
6. Песчано-галечный материал с валунами	• • • • • • • • • • • • • • • • • •	0,5 "	
7. Песок с редкой галькой	• • • • • • • • • • • • • • • • • •	0,75 "	
8. Валунник с песчано-галечным материалом	• • • • • • • • • • • • • • • • • •	1,5 "	
9. Песчано-гравийный материал	• • • • • • • • • • • • • • • • • •	2,0 "	
10. Галечники и валуны	• • • • • • • • • • • • • • • • • •	3,5 "	
11. Желтовато-серый песок	• • • • • • • • • • • • • • • • • •		
Общая мощность – 17,45 м.			
Возраст их определяется по данным спорово-пыльцевых анализов как верхнечетвертичный.			
С о в р е м е н н ы е о т л о ж е н и я (Q_{IV})			
Современные отложения в пределах изученной площади представлены широко распространенными аллювиальными отложениями, слагающимися современных рек и пойм, и элювиально-делювиальными об разованиями, развитыми на склонах и поверхностях водоразделов.			
А л л ю в и а л ь н ы е о т л о ж е н и я развиты в долинах рек Ахтарка, Теграха, Джиличи, Ендондио, Ангасе, Амчунды, Бол. Амалага. Представлены они галечно-балунным и песчано-суглинистым материалом, изменяющим свою сортировку и размеры обломков по направлению от верховий к низовым долин рек. В вершинах долин материал более грубый и состоит из валунов и гальки, нередко плохо окатанных. Так, например, в долине р. Ахтарка разрез этих отложений следующий (сверху вниз):			
1. Гравийно-галечный материал с супесью и линзами суглинков	• • • • • • • • • • • • • • • • • •	0,2 м	
2. Суглинок, местами пропитанный окислами железа	• • • • • • • • • • • • • • • • • •	0,2 "	

ИНТРУЗИВНЫЕ ОБРАЗОВАНИЯ

Возраст их определяется по данным спорово-пыльцевых анализов как верхнечетвертичный.

Современные отложения (Q_{Tv})

Современные отложения в пределах изученной площади представляются широко распространенными аллювиальными отложениями, слагающимися русла современных рек и пойм, и элювиально-делювиальными об разованиями, развитыми на склонах и поверхностях водоразделов.

А плювиальные отложения развиты в долинах рек Ашхара, Тетрах, Джелинды, Енотийно, Акгасе, Амукун,

Б а р т у з и н с к и й . И н т р у з и в н и й

Интрузивные породы развиты довольно широко и характеризуются значительным разнообразием вещественного состава. По времени образования они разделяются на позднепротерозойские (баргузинский интрузивный комплекс), нижнепалеозойские (байрамлинский и викинг-канский интрузивные комплексы), триасовые (куналейский интрузивный комплекс), триасово-ниженерсккие (гудирский интрузивный комплекс) и мезозойские (?) интрузии.

Этот интрузивный комплекс разделяется на три фазы: 1) сиенитовые порфировидные граниты, гранодориты, граносиениты и сиениты; 2) среднезернистые, мелкозернистые блотитовые гнейсовые граниты, гранодиориты, диориты; 3) мелко- и среднезернистые лейкократовые граниты и связанные с ними жильные образования — дико-

3. Плотная, вязкая и жирная глина	0,6 м
4. Темно-серая глина с прослойками гравийно-песчаного материала	0,3 "
5. Галечники с крупнозернистым песком; представ-	

Таблица 5

ритовые, диабазовые порфириты, мелкозернистые граниты, амфиболовые, кварцевые жилы.

I фаза. К I фазе баргузинского интрузивного комплекса отнесены породы, распространенные на водоразделе рек Сиринихи, Дилинхи, Бол.Амалата, где они слагают вытянутое в северо-восточном направлении тело протяженностью около 30 км и шириной 5-7 км. Массив пилоцадью около 70 км² этих пород расположен на водоразделе рек Аксахан - Ендондинго. Более мелкие тела находятся в бассейне р.Ангасе, на левобережье р.Сирикты. Все массивы сложены преимущественно биотитовыми порфировидными гранитами. Граносиениты и гранодiorиты среди них имеют незначительное распространение и связаны с гранитами постепенными переходами.

Биотитовые породы II фазы. Это желтовато-серые и серые породы, характерные по структуре и величине зерен. В их состав входят: плагиоклаз (25-40%), калиевый полевой шпат (25-35%), кварц (25-35%) и биотит (10-15%). Вторичные минералы представлены хлоритом, серпентинитом, пелитом, альбитом. Из акцессорных минералов присутствуют: сфен, циркон, апатит, магнетит. Порфировидные вкрапленники представлены как плагиоклазом, так и калиевым полевым шпатом. Ниже приводится химический состав этих гранитов (табл.5).

Описываемые порфировидные граниты имеют повышенное содержание глиозема, железа, маргния и кальция. Отмечается повышенное содержание свободного кремнезема по отношению к гранитоидам II фазы и пониженное - по отношению к гранитоидам III фазы.

Стекральным анализом установлено, что эти породы содержат марганца - 0,03-0,1%, титана - 0,03%, ванадия - 0,03-0,1%, стронция - 0,03-0,1%, бария - 0,03-0,1%, мели - 0,001%, сурьмы - 0,003%, лантана - 0,003%, циркона - 0,01%, цинка - 0,001%.

Граносиенитический сиениты ($7\text{Fe}_3\text{Pt}_3\text{f}_1$) отмечаются на водоразделе рек Аксахана и Ендондинго. Это среднекрупнозернистые породы с порфировыми выделениями полевого шпата. Общая их окраска розово-серая и серая. По минеральному составу граносиениты и сиениты сильно варьируют. Встречаются биотитовые, роговообманковые и биотитово-роговообманковые разности. От порфировидных гранитов они отличаются количественным содержанием кварца и связаны с ними постепенными переходами. В состав граносиенитов и сиенитов входит: плагиоклаз (35-40%), калиевый полевой шпат (40-45%), кварц (0-15%), биотит (5-10%), роговая обманка (3-8%). Вторичные минералы представлены хлоритом, серпентинитом, пелитом. Из акцессорных присутствуют: апатит, сфен, циркон, ортит, монацит.

Гранодиориты ($7\text{Fe}_1\text{Pt}_3\text{f}_1$) распространены в бас-

Компоненты	Содержание, %									
	1	2	3	4	5	6	7	8	9	10
SiO ₂	73,90	66,48	71,32	69,0	66,54	67,86	66,62	71,26	74,68	69,22
Al ₂ O ₃	14,40	16,80	15,0	16,22	16,50	15,53	15,36	15,57	13,34	15,22
Fe ₂ O ₃	0,36	1,01	0,82	1,24	1,16	0,93	1,26	0,75	0,06	1,32
FeO	1,33	2,01	2,10	1,80	2,66	2,53	2,02	0,94	0,92	1,71
MnO	0,02	0,46	-	0,06	0,05	0,06	0,66	0,07	0,12	0,16
TiO ₂	-	-	-	-	0,38	0,40	0,10	-	0,33	-
W	0,85	1,28	1,37	0,60	2,56	0,59	1,33	1,0	0,31	0,76
CaO	1,84	2,26	2,0	2,26	1,50	2,21	1,83	2,09	1,06	2,23
K ₂ O	3,46	4,05	3,42	1,81	2,93	5,50	5,0	3,70	5,67	4,32
Na ₂ O	4,04	4,65	3,81	5,51	5,06	3,46	3,71	3,81	3,07	3,87
Li ₂ O	0,35	0,43	0,72	0,70	0,57	0,82	1,45	0,52	0,62	0,56
S ₀	-	-	-	-	-	-	-	-	-	-
H ₂ O	-	-	-	-	-	-	-	-	-	-
R ₂ O ₃	100,58	100,50	100,76	99,41	99,63	99,05	99,77	99,93	100,04	99,79

Числовые характеристики по А.Н.Заваринскому

a 13,28 19,64 12,80 14,79 14,78 15,62 15,48 13,20 14,35 14,67

b 2,10 1,58 2,37 2,74 1,78 2,61 2,19 2,40 1,13 0,81

c 3,87 6,11 6,60 3,88 9,67 3,71 5,91 5,20 1,66 4,34

d 80,46 72,84 78,34 73,96 77,90 75,52 79,16 82,55 78,37

e 27,10 - 28,0 21,40 31,20 - 12,90 41,0 28,50 6,20

f 35,60 33,30 33,0 26,70 42,80 29,60 37,20 32,0 25,0 28,10

g - 17,20 - - 2,0 - - - -

h 38,80 49,40 39,0 51,7 26,0 68,50 50,0 26,90 46,40 65,60

i 64,0 72,0 62,0 82,0 72,0 49,0 53,0 61,0 44,0 57,0

j - - - - 0,40 0,40 0,07 - 0,30

k 8,40 13,0 10,0 25,0 9,7 22,20 17,40 12,30 - 25,0

l 32,53 4,65 28,60 24,22 16,34 22,11 19,79 29,26 36,38 28,40

m 6,30 12,40 5,40 8,3 6,0 7,0 5,50 12,70 18,0

П р и м е ч а н и е. Место разреза образцов порфировидных гранитов: 1 - водораздел рек Куды - Куйда; 2 - левый берег р.Удан; 3 - водораздел рек Сиринихи - Куйда; 4 - водораздел рек Дилинды - Куйда; 5 - левый берег р.Ендондинго; 7,8,9 - верховье р.Дилинды; 10 - верховье р.Сиринихи.

сейне р.Антасе. Это средне- и крупнозернистые породы обычно порфировидные. Вкрапленники размером 1,5-2 см представлены андезином.

Кроме андезина № 35 (20-40%) в гранолитах отмечаются кальцитом полевой шпат (10-15%), биотит (10-15%) и кварц (10-15%). Из акессорных минералов присутствуют: сфен, циркон, рудный минерал. Il_{Fe} . Борды этой фазы распространены по правому и левому берегам долины р.Кудая и занимают почти все водораздельное пространство рек Тетраха, Джилини, Быдоодино, Ахарка площадью около 600 км². Представлены они гнейсовидными жгутовато-серыми, серыми биотитовыми, биотит-ротовособмаковыми гранитами и граносенитами. Среди них встречаются небольшие участки, сложенные гранодиоритами и лиоритами, имеющими постепенные переходы к гранитам. Отличительными признаками гранитоидов II фазы являются первичная полосчатость и гнейсовидность.

Гнейсы и пегматиты ($\text{K}_2\text{Pt}_3\text{f}_4$), граногнейсины ($\text{K}_2\text{Pt}_3\text{f}_4$) имеют альтюроморфно-зёренистую, глинистоморфно-зёренистую, гранитовую, катакластическую структуру, массивную и гнейсовидную текстуру. Главными породообразующими минералами являются плагиоклаз (25-40%), калиевый полевой шпат (20-30%), кварц (15-30%), биотит и роговая обманка (10-15%). Вторичные минералы представлены хлоритом, серпентитом, пелитом, лимонитом, эпилитом, мусковитом. Из акессорных минералов встречаются сфен, магнетит, рутил, пироксен.

Химические анализы гранитов (табл.6) показывают неизменность химического состава описываемых пород и резкое колебание окислов. Величина характеристики "р" колеблется от 4,19 до 7,11. Отношение калия к натрию также неизменно. В одних случаях преобладает калий над натрием, в других - натрий над калием.

Спектральным анализом установлено, что эти породы содержат марганца - 0,03-0,1%, титана - 0,01-0,03%, ванадия - 0,003, бария - 0,03-0,1%, мели - 0,003%, никеля - 0,001%, кобальта - 0,003%, хрома - 0,003%, цинка - 0,001%, сурьмы - 0,001%, стронция - 0,01-0,3%, молибдена - следы, олова - следы.

Диориты и гранодиориты ($\delta_2\text{Pt}_3\text{f}_4$).

Для этой группы пород в целом характерны: резко выраженная структурно-текстурная неоднородность, неизменство минерального состава, количественного соотношения и размеров зерен породообразующих минералов. Эти породы имеют зеленовато-серую окраску, отчетливо выраженную гнейсовидную текстуру. Структура гнейсоморфно-зёренистая, катакластическая, сластиогранитовая.

Главными породообразующими минералами являются: плагиоклаз (36-60%), калиевый полевой шпат (8-10%), биотит и роговая обманка (25-35%). Вторичные минералы представлены хлоритом, кварцем, биотитом, роговой обманкой, пелитом. Из акессорных минералов встреча-

Таблица 6

Компо- ненты	Содержание, %					
	1	2	3	4	5	6
SiO_2	74,0	76,04	68,54	73,66	71,68	69,56
Al_2O_3	14,08	13,50	16,50	13,04	15,0	15,47
Fe_2O_3	0,66	0,20	0,97	0,68	0,34	0,59
FeO	0,86	1,0	2,12	1,62	1,90	1,88
MnO	0,01	-	0,05	0,10	0,05	0,04
MgO	-	-	0,16	-	-	0,28
TiO_2	1,28	1,02	1,71	0,94	1,05	0,87
CaO	1,58	0,95	0,38	1,84	2,02	1,95
K_2O	3,65	3,13	2,66	4,36	3,36	4,25
Na_2O	4,36	4,36	4,24	3,11	4,43	4,21
П.п.п.	0,30	0,50	0,55	0,17	0,54	0,57
P_2O_5	0,04	0,05	0,12	0,03	0,03	0,05
S_2O_3	-	-	-	-	-	-
H_2O	-	-	-	-	-	-
R_2O_3	100,82	100,75	100,0	99,55	100,40	99,93
Числовые характеристики по А.Н.Заварницкому						
a	I4,20	I3,28	I3,46	I4,0	13,93	15,32
c	0,65	0,98	0,48	0,06	2,37	2,35
b	4,19	4,31	7,0	6,0	4,29	4,10
s	80,59	81,38	79,25	81,0	78,67	78,13
a'	3,80	38,80	I7,80	-	15,30	II,40
m'	60,0	37,30	41,50	33,0	38,40	34,40
c'	-	-	-	31,4	-	-
f'	36,50	23,80	40,60	34,0	46,0	54,0
n	64,0	68,0	70,0	52,0	67,0	60,0
t	-	-	0,10	-	-	0,30
φ	I4,0	3,0	II,80	8,8	6,10	13,0
q	37,50	31,92	24,28	33,0	27,85	23,37
g	22,10	13,0	27,40	23,0	6,50	6,50

Примечание. Место взятия образцов гранитов: 1 - правый берег р.Илокач; 2 - правый берег р.Кудая; 3 - левый берег р.Мал.Кудая; 4 - верховье р.Сириты; 5 - верховье р.Илокач; 6 - верховье р.Джилини; 7 - верховье р.Бол.Аманата.

Таблица 7

Компо- ненты	Содержание, %							
	1	2	3	4	5	6	7	8
SiO ₂	57,94	51,86	52,16	54,56	56,64	54,48	50,0	59,95
Al ₂ O ₃	13,13	20,81	21,13	17,50	16,50	18,20	17,29	20,0
Fe ₂ O ₃	1,42	3,06	2,42	1,01	2,29	1,20	3,73	2,06
FeO	5,03	6,46	7,04	6,25	5,08	6,03	6,68	3,66
CaO	0,14	0,16	0,10	0,14	0,12	0,13	0,17	0,12
TiO ₂	-	-	0,60	0,26	0,58	0,88	1,25	0,16
MgO	7,20	6,56	6,84	6,60	3,85	4,18	5,11	2,44
Na ₂ O	9,78	6,01	2,56	8,0	8,86	7,49	9,39	4,40
K ₂ O	I,05	0,71	1,44	1,13	2,32	2,50	1,25	0,95
Na ₂ O	2,80	3,07	4,54	3,50	3,38	3,51	3,21	5,0
П.п.п.	0,90	0,76	0,60	1,45	0,57	1,42	1,43	0,40
P ₂ O ₅	0,13	0,48	0,51	0,27	0,35	0,39	0,38	0,15
S ₀	-	-	-	-	-	-	-	-
H ₂ O	-	-	-	-	-	-	-	-
R ₂ O ₃	99,52	99,44	99,94	100,07	100,49	100,41	99,89	99,54
Числовые характеристики по А.Н.Завариному								
a	25,22	25,75	29,0	19,94	18,34	20,88	26,29	12,62
c	4,37	7,35	2,91	7,21	5,75	2,75	4,45	5,42
b	7,32	7,55	11,38	9,44	10,68	11,77	9,26	9,37
s	62,98	59,52	56,71	63,28	65,02	64,72	60,09	68,52
a'	-	22,40	33,0	-	-	-	32,0	20,80
m'	46,30	43,20	37,90	51,80	35,40	34,80	34,10	30,0
c'	28,0	-	-	13,60	27,60	32,10	28,20	-
r'	23,0	34,40	29,0	34,80	33,20	31,10	37,70	38,0
n	80,0	87,0	83,0	82,0	69,0	67,0	78,0	88,0
t	-	3,0	0,90	0,30	0,80	1,0	1,70	0,20
p	4,60	10,10	6,60	4,20	10,40	4,70	12,30	12,0
q	7,06	22,40	12,25	0,60	3,14	3,03	2,88	1,94
c	1,60	1,0	3,80	1,30	1,80	4,20	2,30	2,60
П р и м е ч а н и е. 1 - диорит, верховье р.Бол.Кумы; 2 - диорит, водораздел рек Кумы; 3 - диорит, верховье р.Кутах; 4 - гранодиорит, верховье р.Кумы; 5 - диорит, водораздел рек Спирники - Еол.Кумы; 6 - диорит, верховье р.Джиды; 7 - диорит, верховье р.Бол.Амала; 8 - гранодиорит, правый берег р.Антасе; 9 - гранодиорит, левый берег р.Аксакана.								

ются: апатит, сфен, рудный минерал.

По химическому составу эти породы относятся к типичным диоритам (табл.7). Содержание щелочей в них несколько понижено, содержание известия выше, чем в нормальных диоритах. Характерно заметное преобладание патрия над калием, пересыщенность глиозом, повышенная железистость.

Спектральным анализом установлено, что эти породы содержат марганца - 0,03-0,1%, титана - 0,3%, ванадия - 0,003%, бария - 0,03%, стронция - 0,03-0,3%, меди - 0,003%. Никеля - 0,003%, кобальта - 0,003%, хрома - 0,003%, цинка - 0,03%, сцинца - 0,001%, циркония - 0,002%, молибдена - следы, олова - следы.

III фаза. Мелкограниты (ГРГ₃) слагают лёгкократовые граниты (ГРГ₃) слагают подраздел рек Аксахан - Джиды и бассейн верхнего течения р.Джиды. Это белые, светло-серые, желтовато-серые породы, в которых почти полностью отсутствует темноцветные минералы, наблюдается повсеместная разгнейсованность и широкое распространение первичной полосчатости. Они имеют гранулитовую, местами бластомилитовую структуру и массивную, гнейсовидную текстуру. Главными породообразующими минералами являются: плагиоклаз (40-45%), микроклин (25-30%), кварц (25-35%), биотит (2-3%). Из акцессорных минералов присутствуют сфен, циркон, магнетит. Вторичные минералы представлены хлоритом, серпилитом, эпиломитом.

Химический состав этих гранитов приведен в табл.8.

Таблица 8

Компо- ненты	Содержание, %		Числовые характеристики по А.Н.Завариному	
	1	2	1	2
SiO ₂	75,24	71,62	а	6,56
Al ₂ O ₃	13,21	14,08	в	12,61
Fe ₂ O ₃	0,73	0,86	с	1,01
FeO	0,39	1,77	с	79,77
MnO	0,21	0,10	а	27,10
TiO ₂	0,13	0,32	п	54,30
MgO	0,27	0,43	с	-
CaO	0,89	1,49	п	18,40
K ₂ O	5,05	5,42	п	46,0

	I	2	I	I	2
Ne_2O	2,87	3,27	t	0,09	0,03
П.п.п.	0,45	0,50	φ	8,70	22,0
P_{205}	0,02	0,09	Q	33,36	29,51
SO_3	-	-	$\frac{a}{c}$	12,40	8,90
H_2O	-	-			
R_{203}	99,66	99,94			

П р и м е ч а н и е . 1 - гранит, верховье р.Исокто; 2 - гранит, правый борт р.Джилинды.

Лейкократовые граниты III фазы баргузинского комплекса близки к среднему составу гранитов, по р.Дэли, но отличаются от них резко пониженным значением параметра "с", повышенным содержанием глиноzemса, за исключением краевых частей интрузий, в которых имеются постепенные переходы к более мелковзернистым разностям и где значительно увеличивается содержание кремнеzemса, избыточного глиноzemса и уменьшается содержание извести. По сравнению с гранитоидами первых двух фаз они характеризуются высокими значениями параметра "S", коэффициента кислотности "Q" и пониженным значением параметра "n", что объясняется преобладанием калия над натрием.

Спектральным анализом установлено, что эти породы содержат марганца - 0,01%, титана - 0,003%, ванадия - 0,001%, сария - 0,03%, стронция - 0,03%, меди - 0,001%, свинца - 0,003%, гафния - 0,001%, циркония - 0,01%, иттербия - следы, иттрия - 0,003%, пинака - 0,003%, олова - следы, молибдена - 0,001%.

Жильные породы

К жильным породам баргузинского интрузивного комплекса от-

носятся пегматиты, аplitы, мелкозернистые граниты, диоритовые порфириты, кварцевые жилы. Все они пространственно тяготеют к интузивам баргузинского комплекса и имеют эруптивные контакты с лейкократовыми гранитами III фазы этого комплекса.

П е г м а т и т ($\text{P}_{\text{Pt}}\beta_i$) встречается в виде жил и шлировых обособлений. Мощность их от 0,2 до 2-3 м. Простирание преимущественно северо-восточное, иногда северо-западное. Имеет среднезернистое и крупнозернистое строение. Обычно не зональны. Ми-

неральный состав: микроклин, кварц и редкие листвочки биотита.

А п л и т и т ($\text{P}_{\text{Pt}}\beta_i$) и м е л к о з е р н и с т ы е т р а н и ты ($\text{T}_3\text{Pt}\beta_i$) - это серые, светло-серые, желтовато-серые породы с аplitовой и миктогранитовой структурой и массивной текстурой. Сложенны они плагиоклазом, микроклином и кварцем.

В виде примеси присутствуют мусковит и биотит. Аксессорные минералы представлены цирконом, сфееном, рудным минералом.

Д и о р и т о в ы е п о р ф и р и ты ($\delta\text{U}_3\text{Pt}\beta_i$) - темно-серые, почти черные, массивные породы. Порфириты выражены андезином, роговой обманкой, реже - биотитом. Основная масса сложена андезином, обыкновенной роговой обманкой, биотитом. Вторичные минералы представлены хлоритом, серидитом, пелитом, эпидотом. Из аксессорных минералов встречаются апатит, магнетит. Структура основной массы гипидроморфно-зернистая.

К в а р ц е в ы е ж и л ы приурочены большей частью к зонам тектонических нарушений. Мощность их не превышает 7 м. Наибольшее количество кварцевых жил отмечается в бассейнах рек Куюча и Антасе. Кварц имеет серый и светло-серый цвет.

Возраст гранитоидов баргузинского комплекса определяется как верхнетретозойский на основании эруптивных контактов с отложениями тилимской свиты верхнего протерозоя (реки Сиринкита, Кулан, Большой Амалат). Кроме того, верхняя возрастная граница этих гранитоидов определяется тем, что они обнаруживаются в гальке континентальных химильдинской свиты нижнего кембрия (район р.Джилинды).

РАННЕГАЛЕОЗОЙСКИЕ ИНТРУЗИИ

В этой группе математических пород выделяются два комплекса: бирамынский и витимканский.

Б и р а м ы н с к и й и н т р у з и в н ы й

жильные породы

к о м п л е к с

К этому комплексу мы относим габбро-диориты, габбро и диориты, слагающие небольшие тела. Наиболее крупные массивы этих пород едва достигают 2-5 км² и расположены на подоразделе рек Ансахана и Джилинды, в бассейне рек Тетраха и Хартуйт. Более мелкие тела площадью 0,1-0,5 км² распространены по левобережью рек Алхара, Еландино, на водоразделе рек Ансахана - Тетраха. В большинстве случаев массивы бирамынского комплекса приурочены к зонам тектонических нарушений.

Таблица 9

Компо-ненты	Содержание, %		Числовые характеристики по А.Н. Заваринскому	
	1	2	1	2
SiO ₂	53,62	48,28	a	6,65
TiO ₂	0,95	0,90	c	4,06
Al ₂ O ₃	18,93	15,70	b	33,73
FeO	8,80	4,40	a'	55,56
MnO	0,08	0,11	f	33,10
Fe ₂ O ₃	1,88	2,97	s	58,2
MgO	7,32	6,04	m	30,0
CaO	3,07	12,91	n	36,90
K ₂ O	1,70	1,13	q	63,20
Na ₂ O	1,94	2,29	a	75,5
П.п.п.	0,94	1,96	c	0,66
P ₂ O ₅	0,22	0,42	-4,5	-4,5
SO ₃	-	1,37		
H ₂ O	-	0,20		
R ₂ O ₃	99,92	98,26		

Примечания. 1,2 - таббро, левый борт р. Тетрах.

Габбро по химическому составу в общем подходит к среднему составу габбро, по Дэли, отличаясь содержанием кальция в большую и меньшую сторону и несколько повышенной суммой щелочей.

Результаты спектральных анализов показывают наличие в них марганца - до 0,1%, титана - до 1%, бария и строния - 0,01-0,03%, меди - 0,01%, никеля - 0,03%, кобальта - 0,01%, хрома - 0,03%, цинка - 0,01%, таллия - 0,003%, циркона - 0,01%, иттрия - 0,01%.

Нижнепалеозойский возраст бирмынского комплекса устанавливается на основании интрузивных контактов с верхнепротерозойскими гранитоидами баргузинского комплекса (реки Тетрах, Витим). В свою очередь, основные породы комплекса прорываются гранитоидами витимканского комплекса. Химический состав этих пород приведен в табл. 9.

Гранитоиды этого комплекса на основании взаимоотношений осадочно-метаморфическими образованиями южного, а также юго-западного тектонических особенностей, минеральному составу, гранитоиды

лику подразделяются на две фазы.

1) **Фаэза.** Роговобиманковые сиениты и граносиениты имеют не-значительное распространение и слагают три массива, расположенные на водоразделе рек Дулесмы - Харагуки, в бассейне левого притока р. Дулесмы и в верхнем течении правого притока р. Айна.

Сиениты ($\text{t}_{\text{1}} \text{Pz}_{\text{1}} \nu_{\text{t}}$) - это серые, роговато-серые среднезернистые и гипидоморфозернистые породы; имеют массивную текстуру. Главными породообразующими минералами являются: калиевый полевой шпат (45-75%), плагиоклаз (15-35%), кварц (3-5%), роговий обманка (до 10%), иногда биотит (до 2%). Вторичные минералы представлены хлоритом, серцитом, мусковитом. Из акцессорных минералов присутствуют: магнетит, сфен, ортит, циркон, апатит.

Транссиениты ($\text{t}_{\text{1}} \text{Pz}_{\text{1}} \nu_{\text{t}}$) отличаются от сиенитов повышенным содержанием кварца (до 15-20%) и плагиоклаза (до 45%).

Химический состав этих пород приведен в табл.Ю.

Таблица Ю

Компо-ненты	Содержание, %	Чистовые характеристики по А.Н.Заваринскому			
		I	2	I	2
SiO ₂	61,76	69,53	S	70,0	78,5
TiO ₂	1,0	0,25	a	14,3	14,2
Al ₂ O ₃	15,83	15,20	c	2,3	1,8
Fe ₂ O ₃	1,87	1,05	b	6,7	5,5
FeO	2,72	1,43	Q	-2,3	26,8
MnO	0,08	0,06	n	56,0	50,4
MgO	1,04	0,59	a'	37,5	41,4
CaO	1,94	1,53	m'	27,5	18,3
Na ₂ O	7,01	3,32	f'	25,6	40,2
K ₂ O	5,79	4,95	c'	-	-
П.п.п.	0,56	1,23	φ	-	-

Компо-ненты	Содержание, %	Чистовые характеристики по А.Н.Заваринскому							
		I	2	3	4	I	2	3	4
P ₂ O ₅	0,13	0,18	t	-	-	7,8			
SiO ₂	-	-	c	6,2					
Al ₂ O ₃	-	-							
Fe ₂ O ₃	99,73	99,32							

Приимечания. I - транссиениит, верховье р.Дулесмы;
2 - граносиениит, верховье р.Айна.

Граносиениты по своему химическому составу приближаются к квартцевым монцонитам (Дээли, 1934 г.), отличаясь от таковых незначительно пониженным содержанием кальция и магния.

Результаты спектральных анализов этих пород показывают содержание титана - до 0,3%, ванадия - 0,01%, бария - 0,03%, стронция - 0,1%, свинца - 0,003%, галлия - 0,001%, циркония - 0,01%.

Обнаружены следы берилля, зеолита, никеля, иттербия.

II фаза. Транссиенииты ($\text{t}_{\text{2}} \text{Pz}_{\text{1}} \nu_{\text{t}}$) II фазы слагают

массивы различной величины. Они расположены на водоразделе рек Кулуркы - Баркасун, Междуречье Бутя - Атланти и Нырея - Алхарка. Все массивы сложены довольно однообразными гранитами лейкократового облика, имеющими средне- крупнозернистое сложение.

Они различно окрашены - от кирпично-красной и розовой до розово-то-серой и серой. На обломокх розового фоне породы резко выделяются зерна темного, почти черного кварца. В редких случаях наблюдается пятнистая окраска, обусловленная различным цветом таблиц полевых шпатов. Редко наблюдаются порфирийные разности. В экзоконтактах они приобретают мелкозернистую структуру, в их составе появляются темнозернистые минералы, главным образом биотит. Размеры интрузивных тел колеблются от 3 до 100 км² и более.

Типичные представители гранитоидов II фазы витимканского комплекса обладают типидоморфозернистой структурой и массивной текстурой. Главными породообразующими минералами являются: калиевый полевой шпат (55-60%), кварц (30-40%), плагиоклаз (10-20%). Из темнозернистых минералов наблюдается биотит (2-3%). Аксессории представлены рудным минералом и сфеноидом.

Возрастное положение этих пород установлено довольно определенно. Они имеют эруптивные контакты с отложениями химтильдингской свиты (реки Дулесма, Харатыка, Атланга) нижнего кембрия и находятся в составе конгломератов исташинской свиты верхнего кембрия - нижнего ордовика (реки Харатуйка и Укикт).

Химический состав этих гранитов приведен в табл. II.

Таблица II

Компо-ненты	Содержание, %	Чистовые характеристики по А.Н.Заваринскому							
		I	2	3	4	I	2	3	4
SiO ₂	77,46	75,04	72,80	69,94	a	10,9	15,3	13,7	12,9
Al ₂ O ₃	II,24	12,97	13,18	14,55	c	0,6	0,6	1,3	2,2
Fe ₂ O ₃	0,91	0,80	0,73	0,86	b	4,6	2,6	4,2	5,7
FeO	0,85	0,96	1,53	2,14	s	83,9	81,5	80,8	79,2

ТРИАСОВЫЕ ИНТРУЗИИ

КУНАЛЕЙСКИЙ ИНТРУЗИОННЫЙ КОМПЛЕКС

	I	2	3	4		I	2	3	4
Мао	0,02	0,01	0,04	0,02	а'	43,9	20,0	20,7	26,2
TlO ₂	0,20	0,08	0,20	0,53	т'	32,7	65,0	46,0	47,6
Сао	0,56	0,57	1,07	1,87	и'	23,4	25,0	33,3	26,2
Мго	0,72	0,41	0,81	0,94	с'	-	-	-	-
K ₂ O	5,27	5,41	5,98	6,24	п	34,4	47,0	38,3	33,2
Na ₂ O	1,84	3,42	2,51	2,08	ф	16,5	25,0	12,7	13,1
П.п.п.	0,17	0,27	0,45	0,30	т	0,2	-	0,2	0,5
F ₂ O ₅	0,06	0,02	0,06	0,11	Q	45,4	31,8	31,6	30,4
H ₂ O	-	-	0,04	0,02	а	18,2	25,5	10,5	5,8
SO ₃	0,12	0,04	0,08	0,15	с				
R ₂ O ₃	99,40	99,82	99,37	99,35					

П р и м е ч а н и е. Место взятия образцов гранитов: 1 – водораздел рек Баркасуна – Укинита; 2 – хр.Бейсихан; 3 – верховье р.Бейсихана; 4 – правый борт р.Сихлина.

Данные анализа показывают, что химический состав описываемых пород очень однообразен. Все они относятся к ряду пересыщенных глиноземом, имеют резко пониженное значение параметра "с" (от 0,6 до 2,2), что объясняется небольшим содержанием пластиоклаза.

Породы характеризуются высоким значением параметра "S" и коэффициента кислотности "Q", что подтверждает содержание кварца от 30 до 40%. Отмечается преобладание окиси калия над окисью натрия, обусловленное повышенным содержанием микроклина в сравнении с пластиоклазом.

Спектральным анализом установлено, что эти гранитоиды содержат марганца – 0,1%, титана – 0,1%, матния – 0,1–0,3%, никеля – 0,001%, ванадия – 0,001%, меди – 0,001%, синицы – 0,002–0,006%, цинка – 0,006–0,01%, олова – 0,001%, лантана – 0,002%, церия – 0,006%, ниобия – 0,003%, бериллия – следы, иттрия – 0,001%, стронция 0,01–0,03%, бария 0,01–0,1%.

Химический состав сиенита (водораздел Алхарка – Могзона) следующий (в %): SiO₂ – 61,76; TlO₂ – 1,0; Al₂O₃ – 15,83; Fe₂O₃ – 1,87; FeO – 2,72; MaO – 0,08; Mgo – 1,04; CaO – 1,94; Na₂O – 7,01; K₂O – 5,79; П.п.п. – 0,46; P₂O₅ – 0,02; SO₃ – 0,04; R₂O₃ – 99,56.

Сопоставляя химический анализ сиенита куналейского комплекса на описываемой площади с составом пород куналейского комплекса из района Битимо-Удинского междууречья (Беличенко, 1962), находим, что они очень сходны между собой, отличаясь лишь несколько повышенным содержанием суммы шелочей. От среднего состава щелочных сиенитов, по Дэли, отличаются пониженным содержанием железа, кальция, матния и большей суммой шелочей.

Возраст пород куналейского комплекса устанавливается на основании того, что они имеют эруптивные контакты с триасовыми отложениями даган-кунтайской свиты и находятся в тальке конгломератов Удинской свиты (Беличенко, 1962). По данным В.А.Новикова абсолютный возраст их ранее 170–175 млн. лет. Нашими работами установлено, что они прорывают гранитоиды витимканского комплекса и находятся в тальке конгломератов юндондинской свиты.

ТРИАСОВО-НИЖНЕЙОРСКИЕ ИНТРУЗИИ

ГУДЖИРСКИЙ ИНТРУЗИОННЫЙ КОМПЛЕКС

К этому комплексу отнесены штокобобразные тела мелкозернистых гранитов, гранит-порфиров и кварцевых порфиров.

Эти породы, развиты на северо-западном и юго-восточном склонах хр. Бейсихан, в бассейне р. Дулесмы, на водоразделе рек Ирана - Джилинды. Наиболее крупные из них, площадью около 15 км², расположены в вершине р. Дулесмы и на водоразделе рек Ирана - Джилинды. Пространственно все эти тела приурочены к центральной зоне разломов (см. главу "Тектоника"). Породы комплекса характеризуются розовой и розовато-серой окраской, лейкократовым обликом, однобразием минерального состава. С ними генетически связаны проявления редких металлов.

Мелкоэзернистые Траниты ($\text{I}_{\text{1T-1g}}^{\text{d}}$) имеют розовато-серую и розовую окраску. Сложенение их средне- и мелкозернистое, текстура массивная, структура гранитовая. Главными породообразующими минералами являются: калиевый полевой шпат (30-40%), патиоклаз (25-30%), кварц (30-35%). Очень редко встречается биотит и мусковит. Из акцессорных минералов присутствуют: сфеин, апатит, рудный минерал. В зонах разрывных нарушений описаны породы сильно дроблены, интенсивно эпилитизированы и окварцованны.

Гранит-порфир ($\text{I}_{\text{1T-1g}}^{\text{d}}$) - это мелкозернистые розовые, сиреневые и розовато-серые породы. Структура их полнокристаллическая порфировая с микрогранулитовой основной массой. Фенокристаллы представлены кварцем, калиевым полевым шпатом и патиоклазом. Основная масса состоит из калиевого полевого шпата (40-65%), кислого патиоклаза (15-20%), кварца (35-40%). Редко (40-65%), кислого патиоклаза (15-20%), кварца (35-40%). Редко зерен основной массы не превышает 0,1 мм. В ее состав входит в незначительном количестве биотит и редко - роговая обманка. Аксессорные минералы представлены апатитом, ортитом, сфеином и цирконом.

Кварцевые порфиры ($\text{I}_{\text{1T-1g}}^{\text{d}}$) имеют полнокристаллическую порфировую структуру со сферолитовой структурой основной массы. Главными породообразующими минералами являются: кварц (35-40%), калиевый полевой шпат (50-55%), патиоклаз (10-15%), биотит, мусковит (1-2%).

Вкрашенники представлены оплавленными зернами кварца. Из акцессорных минералов присутствуют: апатит, сфеин, ортит, циркон.

Возраст пород гуджирского комплекса определяется на основании того, что они имеют эрозионные контакты с гранитоидами эдимитанского комплекса (реки Иран, Джилинда) и обнаруживаются в гальке конгломератов нормально-осадочных отложений тусиновозерской серии.

Спектральным анализом установлено, что эти породы содержат: молибден от слюдов до 0,001%, титан - 0,03-0,06%, волфрам - 0,001%, медь - 0,001%, свинец - 0,006-0,1%, цинк - 0,006%, серебро - 0,001%, висмут - 0,002-0,003%, олово - 0,001%, лантан - 0,002%, церий - 0,006%, ниобий - 0,003%, иттрий - 0,001%, стронций - 0,01-0,6%.

МЕЗОЗОЙСКИЕ (?) ИНТРУЗИИ

В данную группу пород обобщены четыре массива щелочных пород. Первый из них, Верхне-Бурульзайский массив, расположен на водоразделе рек Бурульзай - Джилинда. Этот массив имеет площадь 15 км². Сложен он четырьмя разновидностями нефелинсодержащих пород - либенеритовыми сиенитами, нефелиновыми сиенитами, ийолитами и ийолит-уритами. Каких-либо резких переходов между этими разновидностями не наблюдается. Второй массив расположен на левом склоне долины р. Сиркиты и представляет собой штокобразное тело площадью 2,1 км². Форма его неправильная, близкая к изометричной. Северная часть массива сложена щелочными сиенитами, а южная и юго-восточная - нефелиновыми сиенитами. Кроме того, нефелиновые сиениты в центральной части массива образуют отдельные участки среди щелочных сиенитов. Третий массив - Мухольский - расположен в 1,5 км северо-западнее оз. Мухан. В его строении принимают участие ийолиты и урриты. Площадь этих пород, обнажающихся из-под базальтового покрова, составляет 0,6-0,7 км². Четвертый массив - Амалатский - расположен в истоках р. Большой Амалат. Массив вытянут в северо-западном направлении и имеет площадь около 0,5 км². Жен он в основном нефелиновыми сиенитами. Ийолиты и урриты имеют незначительное распространение. Названные четыре массива пространственно приурочены к стыкам тектонических зон северо-восточного и северо-западного направления. Выдающимися породами являются известняки тилимской свиты.

Небелиновые сиениты (Emz). По содержанию темноцветных компонентов и составу полевых шпатов среди нефелиновых сиенитов выделяется несколько разновидностей. Мариуполиты имеют массивную и трахигоидную текстуру. Гла-

Из них породообразующими минералами являются: нефелин (25–28%), альбит (57–71%), эгирин (15–18%) и биотит (2–3%). По нефелину иногда развивается каниринит, а по эгирину – роговая обманка.

Маскиты – это породы с паналлотриоморфно-зернистой или аллютиморфно-зернистой породообразующей структурой. Текстура гней-содинан, полосчатая. Породообразующими минералами являются: миоклин (46–68%), нефелин (15–20%). В качестве примеси присутствует: альбит, карбонат, биотит.

Либенеритовые нефелиновые сиениты распространены в основном в пределах Верхне-Бурульзаского и Сиритинского массивов. От вышеописанных разностей отличаются тем, что нефелин нацело замещается агрегатом белой слюды – либенеритом.

Уртины и ийолиты (табл. 12) представляют собой крупнозернистую породу зеленовато-серого цвета. Структура их аллютиморфно-зернистая или паналлотриоморфно-зернистая, неравномерно-зернистая, участками пойкилитовая. В минеральном составе их главное значение имеет нефелин (76–84%), а в качестве второстепенной примеси отмечается зерна альбита, карбона-та, каниринита, амфибола, эгирина.

Ийолит-уртиты аналогичны уртикам. В них лишь уменьшается содержание нефелина (до 69%) и увеличивается количество тенинцев – РСВ (до 20%).

Ийолиты – это крупнозернистые меланократовые нефелиновые разности. Они сложены неправильными, довольно крупными зернами нефелина и табличчатыми кристаллами эгирия-альбита, которые находятся почти в равных пропорциях. В качестве второстепенных примесей отмечается карбонат и каниринит. Структура их аллютиморфно-зернистая, текстура массивная.

Химический состав этих пород приведен в табл. 12.

Таблица 12

Комплекс
пертии

	Содержание, %				Числовые характеристики по А.Н. Заварыкову				
	1	2	3	4	1	2	3	4	
S10_2	41,82	42,56	38,80	54,92	a	32,81	35,38	20,50	28,05
T10_2	0,43	0,60	1,41	–	c	3,61	2,72	2,0	2,06
Al ₂ O ₃	27,64	27,82	18,64	20,80	b	11,88	9,97	31,0	6,93
Fe ₂ O ₃	3,42	2,29	6,88	4,90	s	51,77	52,47	46,50	62,85
FeO	1,88	2,17	5,07	1,29	c'	18,60	–	19,20	23,76
MnO	0,10	0,10	0,27	0,01	m	38,54	56,60	43,50	18,22

	I	2	3	4	I	2	3	4
MgO	1,20	–	2,55	0,98	t*	42,49	42,60	35,0
CaO	6,24	6,07	13,62	1,09	n	75,79	79,71	75,41
Na ₂ O	10,50	II,85	6,74	II,22	t	0,71	1,10	2,71
K ₂ O	5,60	4,80	3,81	2,63	φ	27,24	2,07	18,81
P ₂ O ₅	0,16	0,11	0,13	0,17	a	32,95	68,18	50,0
SO ₃	–	0,08	0,21	0,18		9,08	15,50	10,20
H ₂ O	–	–	–	0,05				
R ₂ O ₃	99,83	99,39	99,55	99,88				

Примечания. 1, 2 – уртигит, Мухольский массив; 3 – ийолит, Мухольский массив; 4 – нефелиновый сиенит, Сиритинский массив.

Спектральным анализом установлено, что эти породы содержат яттрия – 0,001%, иттербия – 0,001%, кобальта – 0,001–0,01%, никеля – 0,02%, бериллия – следы, меди – следы, свинца – 0,003%, цинка – 0,002–0,01%.

При определении возраста нефелинсодержащих пород нельзя не учитывать приуроченность их к зонам разломов. Все массивы залегают в северо-восточном направлении вдоль северо-западной границы базальтовой депрессии. Наконец, широкое развитие субмеральных базальтовидов является петрологическим основанием для рекорда о сравнительно молодом возрасте щелочных интрузий, которые генетически могут быть с ними связаны (Белов, 1963). Кроме того, сравнивая их с Сайминским массивом нефелиновых пород (Конев, 1960), абсолютный возраст которых определен в 133,2 млн. лет, можно нефелинсодержащие породы условно отнести к мезозой.

ТЕКОНИКА

Согласно тектоническим построениям Е.В. Павловского, Л.И. Салола, Н.А. Флоренсова, П.М. Хренова и других исследователей Башкирской горной области площадь листа № 49–ХШ входит в каледонскую зону складчатости. Заключительный этап тектонического развития, согласно взглядам этих исследователей, происходил в

нижнем палеозое (Павловский, 1948; 1956; Салоп, 1954; 1958).

В мезозойское время эта территория развидалась как подвижная (мобильная) зона, тесно связанная с мезозойской Восточно-Забайкальской субгосинклиналью (Комаров, 1960).

В геологической истории района выделяются шесть структурных ярусов: раннепротерозойский, позднепротерозойский, кембрийский, верхнекембрийский - нижнеордовикский, раннемезозойский, мезокайнозойский (рис. I).

Р а н н е п р о т е р о з о й с к и е с к л а д а ч а т ы е с т р у к т у р ы. Остатки метаморфических толщ нижнего протерозоя сохранились в бассейне р. Антасе, в виде небольших разобщенных выходов среди базальтового плато, и в юго-восточной части плоскости листа, в бассейне р. Витима.

В бассейне р. Витима метаморфические породы собраны в антиклинальную складку северо-восточного, иногда почти меридионального простирания. Ширина складки около 3,5 км, протяженность ее по простиранию 8–10 км. Падение пород на крыльях происходит под углом 60–70° на северо-запад и юго-восток. В этой антиклинальной складке выделяется ряд второстепенных мелких складок длиной от нескольких до десятков метров. Изучение складчатых структур в бассейне р. Антасе затруднено из-за плохой обнаженности выходов нижнепротерозойских пород.

П о з д н е п р о т е р о з о й с к и е с т р у к т у р ы – н и ж н е я р у с . В верхнем протерозое продолжает существовать собственно геосинклинальная область – Верхне-Витимский внутренний пояс. В пределах этого пояса накапливаются мощные толщи терригенных и карбонатных осадков. Вулканическая деятельность проявлена заметно слабее, чем в нижнем протерозое, и постепенно со временем угасает (Салоп, 1958). Пликацииные структуры верхнего протерозоя сохранились в виде небольших линейных складок. Все они преимущественно северо-восточного простирания. В бассейне рек Сирикты и Бурульзая закартирована асимметричная синклинальная складка. Ядро ее сложено серыми, светло-серыми, иногда полосатыми известняками Тилимской свиты, с линзами амфиболовых сланцев. В крыльях складки известняки переклаиваются с биотитовыми и карбонатными сланцами. Шарнир ее имеет в целом северо-восточное простирание, лишь в бассейне р. Сирикты он близок к субширотному. Ширина крыльев складки достигает 10–14 км. Угол падения пород на крыльях – 70–80°, направление падения – северо-запад и юго-восток. Выделяется ряд мелких складок. Одна из них наблюдается на водоразделе р. Илия и вершины р. Сирикты. Сложена она серыми кристаллическими

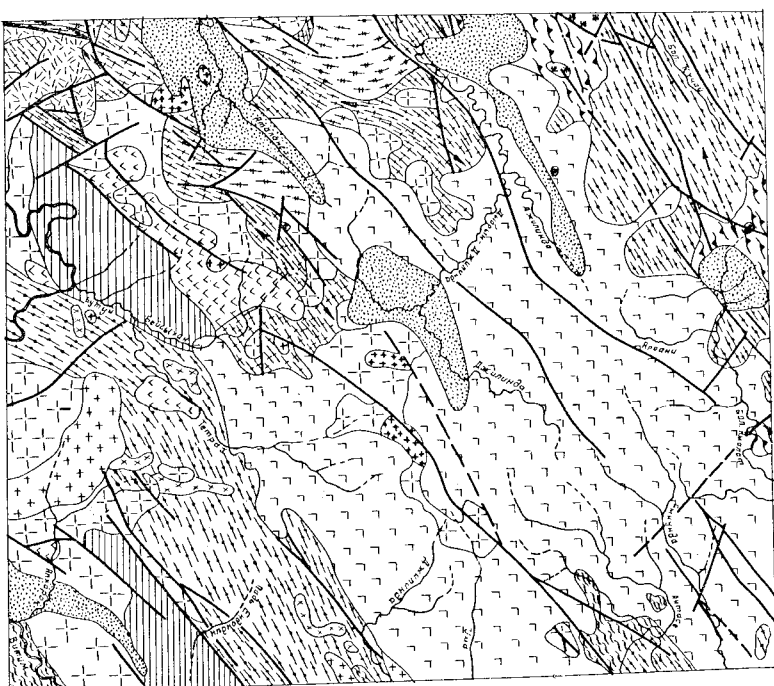


Рис. I. Технологическая схема

- М е з о - х и н о з о й с к и е с т р у к т у р ы:
1 – хинозойские впадины, 2 – мезозойские впадины, 3 – покровы кайнозойских базальтов; 4–5 – раннемезозойский структурный ярус; 4 – покровы эфузивов хилокской свиты, 5 – покровы эфузивов пачан-кудийской свиты, 18 – мезозойские (?) интрузии, 14 – интрузии гудирского комплекса, 13 – интрузии куналейского комплекса.

- П а з д н о з о й с к и е с т р у к т у р ы: 6 – верхнекембрийский – нижнеордовикский структурный ярус, отложения истильинской свиты; 7, II, I2 – кембрийский структурный ярус; 7 – отложения химтильинской свиты, II – интрузии бирюминского комплекса, I2 – интрузии витимянского комплекса. П р о т е р о з о й с к и е с т р у к т у р ы: 8, I0 – позднепротерозойский структурный ярус;
8 – образование тилимской свиты, I0 – интрузии баргузинского комплекса; 9 – раннепротерозойские складчатые структуры – образование талинской свиты. 15 – оси синклиналей; 16 – оси антиклиналей; 17 – разрывные нарушения.

известниками с небольшими прослоями амфиболовых сланцев. Ось ее имеет субширотное простирание и пологий взаимодействует в том же направлении. Падение пород на крыльях происходит под углом 75–80° на северо-запад и юго-восток.

В бассейне верхнего течения р.Бол.Амалата расположена асимметричная антиклинальная складка, ядро которой совпадает с водораздельной частью рек Бол.Амалата и Сайекона. Ядро и крылья складки сложены белыми кристаллическими известниками. Видимая ширина складки 5–6 км. Ее северо-западное крыло падает под углом 70–80°, а юго-восточное – под углом 50–60°. Ось складки вытянута в северо-восточном направлении. Ниже по течению, на левом борту долины р.Бол.Амалата, сохранилось юго-восточное крыло куполной синклинальной складки, большая часть которой перекрыта вулканогенными породами. Ширина сохранившейся части структуры около 2 км, длина ее 3 км. В ее пределах наблюдается моноклинальное падение пластов на северо-запад под углом 65–70°.

С позднепротерозойской складчатостью связано внедрение гранитоидов баргузинского комплекса. По отношению к складчатым структурам они являются преимущественно синорогенным – в них хорошо заметны элементы протектоники, выразившиеся в повсеместной разгнейсованности гранитов.

К є м б р и й с т р у к т у р ы я р у с . Формирование нижнепалеозойских формаций происходило в геосинклинальных условиях (Салоп, 1954). Ход осадконакопления указывает на то, что в нижнем кембрии существовала глубоко прогнувшаяся владина – участок максимального прогибания геосинклинального ложа. Строение ее было неоднородно – участки подводного поднятия чередовались с противами. Господствующее значение в нижнем кембрии приобретают отложения осадочно-вулканогенных серий (Беличенко, 1962). Последние собраны в ряд сопряженных складок северо-восточного простирания с углом падения крыльев 60–70°.

В бассейне нижнего течения р.Джилинды расположена антиклинальная складка, ядро и крылья которой сложены алевролитами, песчаниками, эпилот-амфиболовыми сланцами, последовательно сменяющимися друг друга. Шарнир складки имеет субширотное направление. Угол падения пород на северо-западном крыле – 45–50°, а на юго-восточном – 65–70°. Антиклиналь осложнена складками более мелких порядков, ширина которых колеблется от 10 до 1000 м. Простирание их параллельное с простиранием главной структуры.

На водоразделе верхних течений рек Аяна, Барксуна, Атала и Дыбрин-Джилинды расположена другая антиклинальная складка,

ядро которой сложено породами химильдинской свиты, а крылья – песчаниками исташинской свиты. Ширина ее – 5–10 км, длина – 22 км. Падение ее крыльев крутое – 70–75°. Она осложнена дизъюнктивными нарушениями.

Вдоль хр.Бейсанкай отмечаются отдельные фрагменты куполной антиклинальной складки, сложенной породами химильдинской свиты.

Простирание оси этой структуры северо-восточное, углы падения крыльев 60–65°, ширина складки 12–15 км, протяженность 40–45 км. Она осложнена дизъюнктивными нарушениями и мелкими складками различных порядков, протяжение шарниров которых совпадает с простиранием основной структуры. Углы падения крыльев мелких складок круглые – 70–75°, ширина их достигает 800 м.

Магматические породы, связанные с нижнепалеозойским текtonизмом, относятся к постгорогенным. В послехимильдинское время проявились первая фаза нижнепалеозойского магматизма, с которой связаны интрузии бирзалинского комплекса. В затерявшую фазу нижнепалеозойского магматизма проявилась интрузивная деятельность витимского комплекса.

В е р х о к ё м б р и й с т р у к т у р ы я р у с . С начала верхнекембрия (посташинское время) прошли существенные изменения палеотектонического режима Удэ-Витимской структурно-фациальной зоны. Ее развитие в пределах Витимского плоскогорья протекало в условиях, характеризующихся образованием мульд значительных размеров на фоне общего поднятия и горообразования, в которых проходит некопление терригенных осадков, относящихся к типу поздних или постинверсионных молас (Беличенко, Коматов, Чернов, 1961). Складчатые структуры верхнего кембра – нижнего ордовика имеют незначительное распространение и представлены синклинальными складками северо-восточного простирания. Одна из них расположена на водоразделе рек Аяна – Джилинды. Длина ее 8–10 км, ширина 10–12 км. Ядро складки сложено кварц-полевошпатовыми песчаниками исташинской свиты. Юго-восточное крыло, ширина которого около 4 км, сложено базальными конгломератами, переходящими постепенно к ядру складки в мелководнистые песчаники. Северо-западное крыло, ширина которого 8 км, осложнено разрывными нарушениями и частично размыто. Видимо, остатки этого крыла наблюдаются в вершине кряча Кукуунды и сложены мелководнистыми конгломератами и песчаниками. Падение пород в крыльях складки не превышает 35–40°. В северо-восточной части плосады листа, в левом борту р.Бол.Амалата, закартирована асимметричная синклинальная склад-

ка северо-восточного простирания. Ширина ее 2850 м. Ядро сложено кварц-полевошпатовыми песчаниками. Северо-западное крыло ее имеет крутые углы падения - 60-70°, азимут юв 160°. Юго-восточное крыло имеет более пологие углы падения - 35-40°.

Раннее зодиакальный с т р у к т у р и й я р у с . В конце палеозоя - начале мезозоя, по мнению многих исследователей, описываемый район имел своеобразную историю развития. Одни полагают, что это развитие отвечает субплатформе (Флонсов, 1960), другие - глибовой складчатости (Иванов, 1949). Ю.В.Комаров (1960) считает, что тектоническое развитие района в нижнем мезозое характеризуется двойственностью, ибо накопление мощных букингемских толщ, их интенсивная складчатость и внедрение гранитоидов служат признаками геосинклиналии, тогда как отсутствие типичных геосинклинальных формаций свидетельствует о платформенных условиях.

В результате возобновления тектонической активности жесткие породы наследника фундамента раскалываются системами трещин северо-восточного простирания, к которым приурочивается мощная вулканическая деятельность, давшая породы патан-хунтейской свиты. Ввиду слабой обнаженности внутренние структуры патан-хунтейской свиты изучены слабо. Имеются лишь отдельные замеры элементов залегания пород, падающих под углом 20-25° в различных направлениях. Близки разломов более крутые углы падения - 40-50°. В связи с раннемезозойской складчатостью произошло внедрение интузий куналейского и гуджирского комплексов, а в более поздний период - изливание базальтовых лав (хилокская свита).

Мезокайнозойские структуры представлены впадинами: Бутумской, Енлондинской, Ахарокской, Атала-гинской, Джалдинской, Верхне-Амалатской и Амундинской. Судя по возрасту выполненных им осадков, время образования этих впадин различное: Бутумская и Енлондинская возвинки в мезозое, остальные - в кайнозое. Для выяснения структурных особенностей Бутумской и Енлондинской впадин были проведены геофизические работы (метод ВЭЗ).

Бутумская впадина представляет собой вытянутую в северо-восточном направлении узкую траден-синклинальную структуру. Глу-бина кристаллического фундамента в прибрежных частях ее достигает 100-150 м, а в центре - до 1100 м. Длина ее около 25 км, ширина 5-10 км. Борта впадины обсложнены серией параллельных разломов. Отложения, выполняющие впадину, смыты в пологие складки северо-восточного простирания с углами падения 10-15°. По данным

трапеции (Полов, 1963), над Бутумской впадиной наблюдается отрицательная аномалия - от 100 до 120 мгл (рис.2).

Енлондинская впадина в падине представляет собой также узкий синклинальный прогиб типа традена. Она имеет северо-восточное простирание. Ширина ее 4-8 км, длина 16 км. Мощность отложений, выполняющих впадину, по данным ВЭЗ, колеблется от 100-250 м в прибрежных частях до 500-1300 м в центрах мульдообразных прогибов. По данным трапеции (Полов, 1963), над Енлондинской впадиной наблюдается отрицательная аномалия - от 101 до 118 мгл. Впадина ограничена разломами сбросового типа. Амплитуда сбросов достигает 500 м и более. Основное направление разломов - северо-восточное. Внутри впадины выделяются две мульды от 2 до 5 км, длина от 3 до 8 км. Крылья мульд погружаются полого, под углами 15-20°. В своем развитии Енлондинская впадина была связана с неоднократными движениями перемещающихся блоков. Последние обусловили неравномерное распределение мощностей осадков, а в более позднее время определили расположение дислокационных нарушений.

Последующие тектонические движения в неотеке выражались в омоложении ранее существовавших разломов. К этому времени относится заложение кайнозойских впадин, формирование древнего эрозионного рельефа и проявление эфузивной деятельности. Кайнозойские структуры унаследовали почти полностью структуры, сформировавшиеся в мезозойское время. Неогеновый вулканизм охватил огромное пространство, и лавовые потоки заполнили пологую впадину, площадь которой составляет около 1500 км².

Разрывные нарушения

Помимо разновозрастных складчатых структур, большую роль в тектоническом строении района играют разрывные нарушения. Большинство из них сосредоточено в трех широких зонах, вытянутых в северо-восточном направлении. Северо-западная зона разломов прослеживается на расстоянии 30-40 км, при ширине 10-15 км и проходит по водоразделу рек Сиркиты, Сиринкы, Джилинды, Куда и Вершина р.Бол.Амалата. Центральная зона - вдоль хр.Бейсахан. Ширина ее около 25 км и протяженность около 100 км. Юго-восточная зона - на водоразделе рек Витима и Тетраха. Ширина ее около 15 км, длина 30-40 км.

Изучение этих зон показывает, что они состоят из серии суб-

параллельных, сходящихся и разветвляющихся разломов. Основными элементами, по которым изучались тектонические нарушения, были даики и штоки интрузивных пород различного состава и возраста, гидротермальные изменения, зоны катаракла, дробления, рассланчевания, милонитизации. Они имеют обычно круглые углы падения ($70-80^\circ$). Внутри каждой из зон отчетливо выделяются разломы. Два основных направления – северо-восточного ($40-70^\circ$) и северо-западного ($280-330^\circ$). Судя по элементам смещения, северо-западные разломы – более поздние по времени проявления. Определено установлено, что большинство крупных разрывных нарушений долгоживущие, однако установить время их заложения не всегда удается. Часть их сечет различные по возрасту породы (от раннего протерозоя до неогеновых вулканических образований). Это указывает на то, что последняя стадия активизации зон разломов происходила в послемезозойское время.

ГЕОМОРФОЛОГИЯ

Основные черты геоморфологического строения района определяются сопряжением горных хребтов и межгорных впадин. Первые характеризуются процессами эрозии и денудации, вторые – аккумуляции. В пределах площади листа выделены следующие типы рельефа: среднегорный расщлененный, низкогорный сильно расщлененный, низкогорный слабо расщлененный и холмистый аккумулятивно-тектонический (рис. 3).

Среднегорный расщлененный рельеф занимает водоразделы рек Кутая, Джилинды, Агаланти, Бутуя, Ирана и характеризуется плавными формами. Относительные высоты не превышают 260 м, абсолютные – 1456 м. На вершинах гор наблюдаются редкие останцы горных пород, отпрепарированных в результате физического выветривания. Здесь же широко развиты поверхности гольового выравнивания. Средняя крутизна склонов 8–20°. На склонах развиты солифлюкционные формы: оплывины, террасы, бугры, западины. Здесь расположены вершины рек с узкими крутыми склонами долин.

Низкогорный расщлененный – и и и р е л ь ф приурочен к водоразделам рек Бутуя, Тетреха, Алхарка, Имы, Прав. Антасе. Он отличается плавными формами рельефа и сильной расщлененностью. Абсолютные отметки достигают 900–1300 м, относительные – 80–200 м. Склоны водоразделов имеют

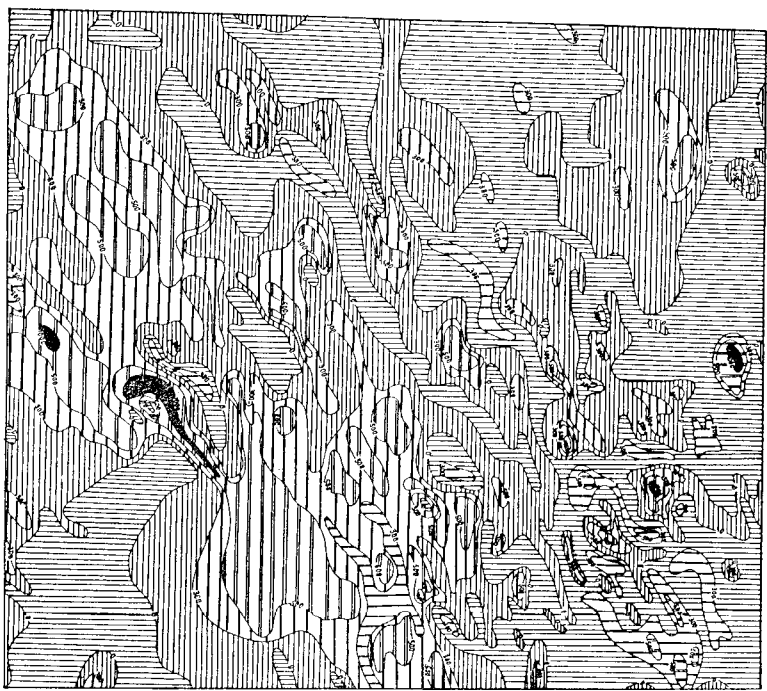


Рис. 2. Схема магнитного поля. Составлена по данным

Б.В. Сусленикова, 1958

Интенсивность магнитного поля в гаммах: 1 – от 0 до +300; 2 – от +300 до +500; 3 – от +500 до +1000; 4 – от +1000 до +2000; 5 – свыше +2000; 6 – от 0 до -300; 7 – от -300 до -500; 8 – от -500 до -1000

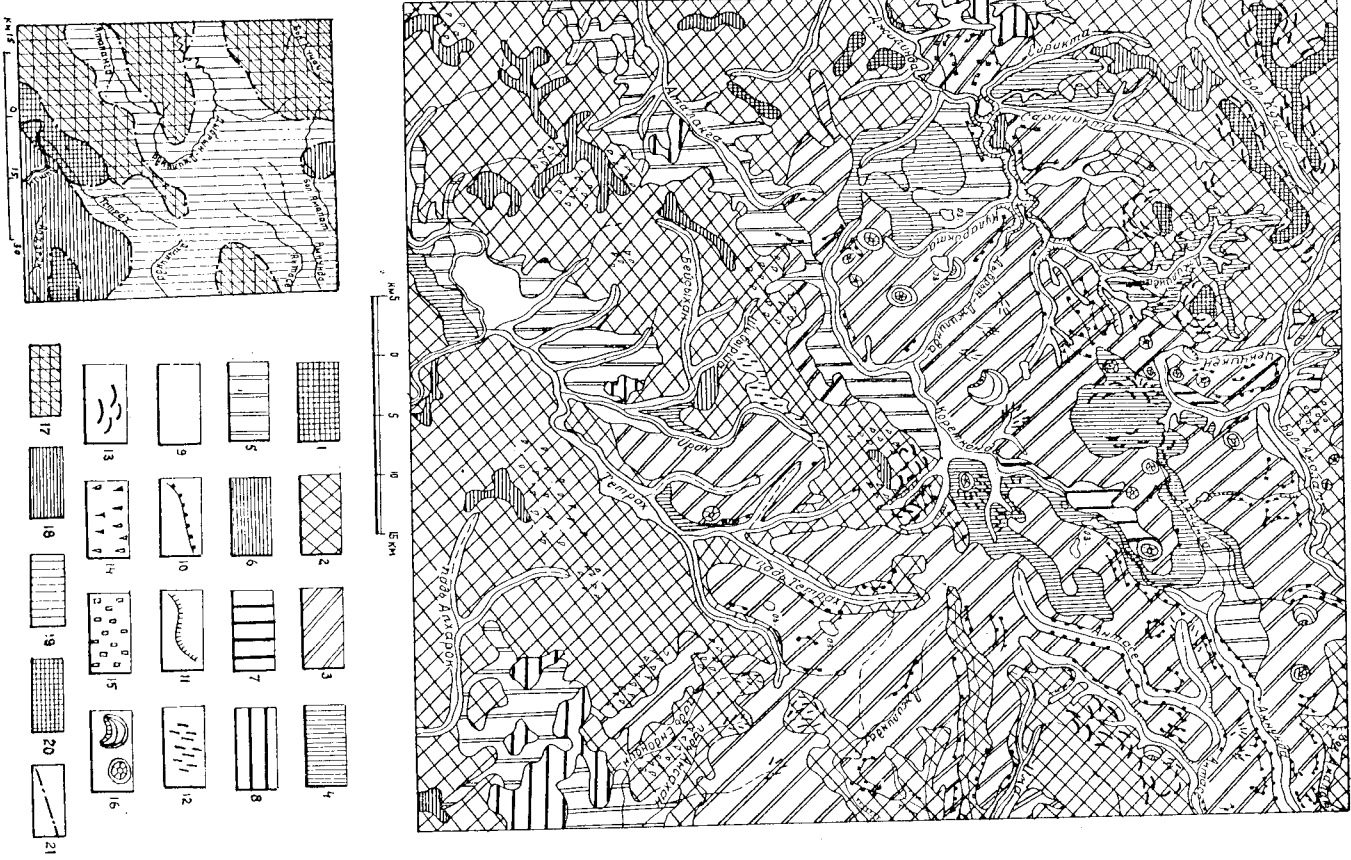


Рис. 3. Геоморфологическая схема

I - поверхности гользового выравнивания; 2 - солифлюкционно-гравитационные поверхности с широко развитыми коры выветривания; 3 - поверхности массового перемещения коры выветривания; 4 - поверхности солифлюкционного сноса; 5 - поверхности ледовильно-протиральной аккумуляции, переработанные солифлюцией; 6 - гравитационно-солифлюкционные поверхности с частями скальными останками; 7 - поверхности солифлюкционного накопления; 8 - поверхности плоскостного смыва; 9 - налаженные террасы; 10 - структурные уступы на базальтах; 11 - эрозионные уступы, выработанные в коренных и раках породах; 12 - солифлюкционные полосы; 13 - солифлюкционные наклонные формы; 14 - каменные потоки, реки; 15 - каменные моря; 16 - нулевые конусы.

Типы рельефа: 17 - среднегорный расщепленный рельеф, 18 - низкогорный сильно расщепленный рельеф, 19 - низкогорный слабо расщепленный рельеф, 20 - холмистый аккумулятивно-тектонический рельеф; 21 - границы типов рельефа

Уклон 3-20°. Основным процессом, образующим склоны, является солифлюкция. Наиболее крупными в пределах данного рельефа являются долины рек Алхарка, Малзона, Харасури, Ендондино, Аксахана, Ныгряя. Склоны долин пологие (2-4°) и только местами уклон их достигает 10-15°, нижние части их представляют собой поверхности солифлюкционного сноса, иногда — солифлюкционной аккумуляции. Верхние части склонов являются поверхностями солидификационно-гравитационного сноса.

Н и з к о т о р н и й с л а б о р а с ч л е н е н н ы й р е л ь е ф развит на поверхностях, бронированных базальтовыми покровами. Это всхолмленная, иногда почти ровная поверхность с резко выделяющимися куполовидными и конусовидными возвышенностями, многие из которых представляют собой остатки древних вулканических конусов. Склоны их очень пологие (угол наклона не превышает 5-10°). Широкое развитие получили здесь поверхности массового перемещения коры выветривания, в образовании которых принимали участие безазурловые временные водотоки, солифлюкция, морозный сдвиг и частично плоскостной смык.

Базальтовое плато разрезано редкими глубокими долинами, часть из которых (долины рек Джилинды, Амунды, Антасе, Бол.Амалата) имеет вид узких каньонов. Глубина вреза достигает здесь 150 м. В отдельных долинах наблюдаются эрозионные уступы, представляющие собой отрепарированые эрозией базальтовые покровы. Особенностью данного рельефа являются многочисленные озера, некоторые из них представляют собой остатки кратеров древних вулканов.

Х о л м и с т ы й а к к у м у л я т и в ы - т е к т о - н и ч е с к и й р е л ь е ф наблюдается в пределах Ендондинской и Бутумской впадин. Поверхность впадин холмистая, имеет разную конфигурацию и возвышается над днищами долин не более чем на 60 м. Склоны их пологие (2-4°). Абсолютные отметки здесь не превышают 960-980 м.

Реки, протекающие по впадинам, имеют широкие пологие (1-3°) долины, которые представляют собой поверхности делювиально-プロфильной аккумуляции, переработанные солифлюкцией и временными барьерными водотоками.

ИСТОРИЯ ТЕОЛОТИЧЕСКОГО РАЗВИТИЯ

История формирования рельефа может быть начата только для мезо-кайнозойского времени.

В мезозойское время в связи с возобновлением тектонической

активности создается расщепленный горный рельеф и происходит заложение Ендондинской и Бутумской впадин. В это время на склонах склону преобладает гравитационный снос и интенсивная эрозия. Впадины заполняются территориальным материалом. К началу неогена этот район перестает существовать как область аккумуляции, о чём свидетельствует отсутствие во впадинах отложений постнеогенного периода. Горный рельеф, вероятно, был значительно стражен. В неогене тектоническая активность вновь возобновляется и происходит интенсивные горообразовательные процессы, которые создают сложно-расчлененный рельеф. Проявляется вулканическая деятельность, в результате чего донеогеновый рельеф на большей площади замывается базальтовыми покровами. В это же время происходит заложение крупных озерно-речных бассейнов (Джилиндинская, Амалатская, Атлантинская, Алхарокская впадины). В плиоцене эта область продолжает подниматься. На склонах вадоузделов господствуют процессы денудации и гравитационного сноса.

Озерно-речные бассейны заполняются территориальным материалом и к концу плиоцена перестают существовать как области накопления. В начале четвертичного периода начинается новый этап в развитии рельефа. Проявляются новейшие тектонические движения, связанные с тем, что перестраивается гидросеть. Зависающая новая, современная гидросеть, полностью изменяет облик неогенового рельефа.

Водоразделы к этому времени значительно усложнены и процессы гравитации почти полностью заменяются процессами солифлюкции и накопления. В долинах рек формируется террасовый комплекс.

ПОЛЕЗНЫЕ ИСКОПАЕМЫЕ

На исследованной площи в процессе геологосъемочных и поисковых работ в масштабе 1:200 000 были открыты месторождения глиноzemистого сырья, вулканических туфов, известняков, проявления молибдена, редкоземельных элементов, исландского шпата, торного хрустала, фосфоритов, газа. Выявлен ряд радиоактивных аномалий и солевых ореолов различных элементов.

ТОРЮЧИЕ ИСКОПАЕМЫЕ

Газы горючие

Скважиной, пройденной в Ендондинской впадине, на глубине 94 м среди песчаников зазисской свиты обнаружен газоносный

горизонт (102). Дебит газа 600–700 м³ в сутки. Газ без цвета и без запаха, горит ярким синим пламенем. Анализ газа, произведен в лаборатории треста "Воссийнефтегеология", показал, что газ относится к метану и не содержит тяжелых углеводородов (табл. 13).

Таблица 13

№ про- бн	Кислот- ные газы	O ₂	H ₂	CH ₄	C ₂ H ₆	C ₃ H ₈	C ₄ H ₁₀	C ₅ H ₁₂	Редкие газы
I	0,23	—	0,04	48,66	0,10	0,04	0,02	0,01	50,90
2	—	—	0,01	47,82	0,08	0,03	0,01	—	52,05, 0,007%.

МЕТАЛЛИЧЕСКИЕ ИСКОПАЕМЫЕ

Черные металлы

Марганец

Металлометрическим опробованием выявлено четыре ореола рассеяния марганца: на водоразделе рек Аорани – Амунуди (24), в верховье пади 2-й Тетрах (67), в верховье р. Ими (53) и в верховье р. Сырглы (80). Содержание в пробах не превышает 1–3%. Кроме того, в верховьях рек Сырглы и 2-й Тетрах выявлены ореолы рассеяния марганца по данным шлихового опробования (66, 81). Содержится марганцевый минерал в шлиховых пробах в зонах и редких знаках. Тектонически ореолы рассеяния марганца связаны с эфузивами паланхутайской свиты.

Титан

Медь

Медь известна лишь в виде ореола рассеяния на правом водоразделе р. Аорани (26). Ореол приурочен к базальтовым породам неогенного возраста. Содержание меди в металлометрических пробах колеблется от 0,003% до 0,006%.

Свинец

Рудопроявление титана расположено в бассейне нижнего течения р. Тетраха (95). Приурочено оно к массиву основных пород бирмыльинского интрузивного комплекса. Вмещающими породами являются граниты II фазы баргузинского комплекса. Массив вытянут в северо-восточном направлении и имеет площадь около 5 км². В его пределах наблюдаются диориты и габбро, причем первые слагают северо-восточную часть массива, а вторые – юго-западную. В центральной части проходит зона тектонического нарушения северо-восточного простирания. Мощность зоны по данным электроразведки методом ИЖ составляет 0,3–0,6 км.

Магнитное поле над массивом невыдержанное, с резкими колебаниями от 1000 до 7000 гамм. Наиболее высокие значения напря-

женности магнитного поля наблюдаются в юго-западной части. Резкие колебания ΔT обьясняются, по-видимому, мощной зоной дробления, неравномерным распределением в массиве магнетита, ильменита, пирита, обильным распространением кварцевых, пегматитовых жил и даек микродиоритов, обладающих слашими магнитными свойствами.

Магнитные свойства отдельных образцов этих пород пропорционально зависят от количества вкрапленных фемиических минералов: магнитная восприимчивость (ΔT) диоритов составляет около 1200–10⁻⁶ ед. CGSM, габбро – от 4270 до 6200·10⁻⁶ ед. CGSM.

Химический анализ бороздовых проб показывает содержание двуокиси титана – 2,3%, общего железа – 20,22%, пятиокиси ванадия – 0,007%.

Минералогический анализ протолочек из основных пород показал, что рудные минералы на 90% представлены магнетитом и лишь на 10% ильменитом. Учитывая это обстоятельство, а также небольшие размеры массива, становится очевидным, что эторудопроявление не может считаться перспективным.

Ореолы рассеяния титана в виде ильменита установлены в бассейне рек Тетраха и Ашилти (87, 71, 61). Концентрация ильменита по р. Тетраху составляет от 50 до 1630 г/м³, а по р. Ашилти – от 50 до 600 г/м³. Источниками ильменита являются базальты и основные породы бирмыльинского интрузивного комплекса.

Цветные металлы

Медь

По результатам металлометрического опробования ореолы рассеяния синицы установлены в пяти участках. Первый ореол (44) находится на северном склоне горы с абсолютной отметкой 1456 м, в верхнем течении р. Демкудана. Содержание синицы в пробах колеблется от 0,002 до 0,01%. Пространственно ореол синцы связан с зоной дробления гранитоморф Битимканского и Тужинского комплексов. Остальные четыре ореола (74, 92, 98, 101) находятся на водоразделе рек Тетраха, Молозана, Алхарка, Аксакана. Пространственно

Геологические запасы глиноэзема приведены в табл. I4.

Таблица I4

Они приурочены к выходам гранитоидов баргузинского комплекса и к зонам глубинных разломов. Содержание цинка в пределах этих ореолов колеблется от 0,002 до 0,003%.

Цинк

Ореолы рассеяния цинка по данным металлометрического определения установлены на водоразделе рек Иското - Джелинды (8) и Баргасун - Ковокты (38). Концентрация цинка в пробах равна 0,01%.

Ореол рассеяния на водоразделе рек Иското - Джелинды генетически, по-видимому, связан с гранитоидами баргузинского комплекса, а на водоразделе рек Баргасун - Ковокта - с приконтактовой зоной в городах химтальдинской свиты с гранитоидами витимканского комплекса.

Описанные ореолы рассеяния меди, свинца, цинка в виде малых развеяний, незначительных содержаний полезных компонентов практического значения не имеют.

Алюминий

Проявления алюминия генетически связаны с нефелинсодержащими породами условно мезозойского возраста и силиманит-андалузитовыми сланцами талалинской свиты.

Амалатско-прояление (12) нефелиновых сиенитов расположено в истоках р.Бол.Амалата. Открыто впервые в 1959 г. А.А.Коневым и И.В.Попковым. Разведочными работами (Белозеров, 1961) установлено, что вмещающими породами являются известняки тилимской свиты, имеющие северо-западное простирание. Нефелиновые сиениты залегают в ядре синклинальной складки в виде тела площадью 0,5 км², вытянутого согласно простиранию известняков. Кроме того, отмечается еще несколько линзовидных тел, как бы окаймляющих основное интрузивное тело. Общая площадь развития нефелиновых сиенитов составляет 0,59 км². Химические анализы бороздовых проб показывают следующие содержания полезных компонентов: глиноzem - 16,54-20,45%, кремнезема - 41,64-51,44%, суммарного железа - 5,27-14,47%, окиси калия - 2,88-8,04%, окиси натрия - 3,66-14,37%.

Усредненный химический состав нефелиновых сиенитов: глиноzem - 18,30, сумма железа - 9,4, кремнезема - 48,34, окиси кальция - 6,52, окиси натрия - 6,18, щелочной модуль - 1,14, силикатный модуль - 4,49.

Наименование породы	Площадь, м ²	Глу-бина на под-рудную сце-ту, м	Объем-вес руды, т/м ³	Запасы руды, т	Сред-нее содер-жание Al ₂ O ₃ ,%	Запасы Al ₂ O ₃ , т
Ниофельевые сиениты	590 000	100	2,9	171 100 000	18,3	31 311 100

Низкое качество руд и небольшие запасы позволяют отнести Амалатский массив нефелиновых сиенитов к числу мелких рудопроявлений с забалансовыми запасами.

Мухольское месторождение нефелиновых пород (40) расположено на водоразделе рек Иското-Джелинды. От ближайшей железнодорожной станции г.Читы удалено на 220 км. Открыто автором в 1962 г. Массив сложен нефелин-прироксеновыми породами уртит-натурианитового ряда. Среди них выделяются лейкократовые разности: уртиты, ийолит-уртиты и мезократовые ийолиты. Уртиты и ийолит-уртиты располагаются в западной половине массива и занимают площадь 0,2 км². Ийолиты слагают восточную часть массива площадью в 0,13 км².

Химические анализы бороздовых проб характеризуются следующими средними содержаниями основных компонентов (табл. I5):

Таблица I5

Наименование руды	Среднее содержание, %					
	Крем-нейзем	Глино-зем	Сум-мар-ное же-зо	Окись ка-лия	Окись на-тра-тия	Сли-катный щело-ческий мо-дуль
Уртиты и ийолит-уртиты	39,43	24,50	5,05	3,69	8,49	0,948
Ийолиты	38,74	15,72	13,48	2,59	4,77	1,951

Сведения о геологических запасах руд и окиси алюминия в них приведены в табл. 16.

Таблица 16

Наименование руды	Площадь, м ²	Глубина под счета, м	Объемный вес руды, т/м ³	Запасы руды, т	Среднее содержание глиноzemа, %	Запасы глиноzemа, не содержащие глиноzemа, %
Уртиты и Ийолит-уртиты	20121	200	2,7	110813880	24,5	27149401

Запасы не отражаются цифрой, приведенной в табл. 16, так как месторождение полностью не оконтурено (оно перекрыто по всему периметру потоками неогеновых базальтов). Приведенные запасы позволяют отнести Мухольский массив к разряду крупных месторождений. Руды его не требуют предварительного магнитного обогащения в связи с низким содержанием железа (5,05%).

Сиринкы и Сиринники. Координаты его: 53°49'00", 53°51'30" с.ш. и 112°00'00", 112°01'30" в.д. Открыто автором в 1962 г. Массив щелочных пород имеет в плане изометрическую форму, площадь его 4 км². Вмещающими породами являются известники Тилимской свиты. Во внутреннем строении массива наблюдается сложная дифференциация пород от щелочных лейкократовых гранитов до нефелиновых сиенитов и контгресситов. Щелочные граниты и сиениты слагают центральную часть массива, составляя площадь около 1,5 км². Нефелиновые сиениты расположены в его южной части, вытягиваясь в субширотном направлении в виде полосы шириной 500–600 м и длиной 1500–1600 м. Кроме того, отмечается несколько линзовидных тел нефелиновых сиенитов (50х150 м) в центральной части массива. Общая площадь развития нефелиновых сиенитов составляет 0,5 км². Химические анализы бороздовых проб показывают следующее содержание основных компонентов: глиноzem – 19,85%, кремнезем – 56,40%, суммарного железа – 6,7%, окиси калия – 2,39%, окиси патрия – 1,1, 21%. Геологические запасы глиноzemа не подсчитываются. В связи с тем, что Сиринкы и Сиринники массив нефелиновых сиенитов расположен недалеко от Мухольского месторождения, он может иметь значение при общей оценке района на глиноzemистое сырье.

Верхне-Бурульзакское проявление (7) расположено на водоразделе рек Бурульзак – Джалголи. Координаты его: 53°49'00", 53°51'30" с.ш. и 112°00'00", 112°01'30" в.д. Массив нефелинодержащих пород расположен на стыке протерозойских гранитоидов с карбонатными породами тиллинской свиты. В его строении принимают участие этировые, этирин-авитовые, либенеритовые, нефелиновые сиениты, а также ийолиты, уртиты, ийолит-уртиты и породы гибридного состава. Преимущественное развитие, имеют либенеритовые сиениты, слаганы собственно весь Верхне-Бурульзакский массив. Нефелиновые сиениты и ийолит-уртиты фиксируются в виде мелких, изометрической и линзовидной формы тел, с нечеткими раковинчатыми границами. Всего насчитывается около 15 таких тел.

Площадь каждого из них составляет не более 50 м².

Содержание основных компонентов по данным химических анализов бороздовых проб приведено в табл. 17.

Таблица 17

Наименование породы	Количество проб	Содержание, %			Оксись натрия
		Кремнезем	Глиноzem	Суммарное железо	Окись калия
Ийолиты	80	44,62	18,27	12,8	3,05 5,55
Либенеритовые сиениты	12	50,42	18,84	10,21	4,92 6,08
Гибритные породы	16	41,67	15,69	16,09	4,91 4,6

Ввиду низкого качества и малого содержания глиноzemа описанное проявление нефелиновых пород (7) практического значения не имеет.

Проявление Антасе (33). В бассейне р. Антасе среди пород таллинской свиты обнаружены небольшие пропластки силимандит-андалузитовых сланцев. Они слагают нерваженные прослои и линзы, согласующиеся с общим простиранием пород свиты. Силимандит в сланцах представлен сноповидными агрегатами фибролита. Андалузит хорошо виден на выветрелой поверхности сланцев. Размеры его кристаллов достигают до 2 см по длиной оси. Содержание силимандита в сланцах колеблется от 3 до 10%, андалузита – от знаков до 20%. По данным химических анализов, содержание глиноzemа составляет 15–19% и в единичных пробах достигает 31%. Ввиду незначительного содержания высокотитаномистых минералов в

метаморфических породах и низкого содержания глиноэма, проявление не имеет практического значения.

Благородные металлы

Золото

Коренных проявлений золота на исследованной площади не обнаружено. В бассейнах рек Сириты, Кукушни, Аяна, Алаланти, по данным шлихового опробования, выявлены три ореола рассеяния золота (6, 37, 55). Содержание золота колеблется от 1 до 22 знаков на шлик. Практически интересным может оказаться ореол рассеяния золота (55), расположенный в бассейнах рек Аяна - Аталасти: в долинах этих рек, где обнаружены знаки золота, наблюдаются выходы конгломератов истадинской свиты. Конгломераты обильно насыщены кварцем, который может быть золотоносным.

Редкие металлы

Олово

По данным металлометрического опробования выявлены ореолы рассеяния олова на водоразделе рек Исокто - Дзелинды (4), в верхнем течении р.Бол.Амалата (9), на правом склоне долины р.Аталасти (56), на водоразделе рек Дыбрын - Дзилинда - Байсихан (59), на водоразделе рек Харатуйки - Маргли (83), в верховье р.Талын (86) и на водоразделе рек Тетраха - Ныгряя (72). Содержание олова в пробах не превышает 0,001%. Связь ореолов с какими-либо породами или гидротермальными проявлениями не установлена.

Вольфрам

Шлиховым опробованием выявлено два ореола рассеяния шеелита, в бассейне р.Кудан (1) и в бассейне верхнего течения р.Джилины (21). Шеелит содержится в шликах в виде знаков и редких знаков. Ореолы приурочены к гранитоидам барузинского комплекса, в которых имеются жилы пегматитов.

Молибден

Молибден встречается в виде вкраплениников в гранитах и кварц-молибденитовых жилах и в ореолах рассеяния.

Рудопроявление молибдена (48) расположено на водоразделе рек Ирана - Коректондекана, на вершине горы с абсолютной отметкой 1456 м, и приурочено к глибовым россыпям мелкоэзернистых гранит-порфиров гужирского комплекса и среднезернистых розовых лейкократовых гранитов витимканского комплекса. Молибденит встречается в маломощных (1-1,5 мм) прожилках кварца в гранит-порфирах и мелкоэзернистых гранитах. Местами отдельные мономинеральные гнезда молибденита соединяются тонкими (0,2-0,5 мм) прожилками кварца-молибденитового состава. Молибденит встречается также в виде вкраплениников в розовых гранитах витимканского комплекса вблизи контакта их с гранитогирями гужирского комплекса.

Вмещающие породы обычно калаклазированы, эпидотизированы и содержат в себе мелкую вкрапленность флюорита. Площадь оруденения составляет около 1,5 км². Содержание молибдена, по данным химических анализов пяти бороздовых проб, составляет 0,14-0,2%. Из других рудных элементов присутствует вольфрам - 0,02-0,06%.

Спектральные анализы сколков установили содержание молибдена от следов до 0,01%, олова - 0,002%, циркония - 0,003-0,01%, ниобия - 0,003%, стронция - 0,01-0,03%, цинка - 0,01-0,03%, свинца - 0,03%. Данное рудопроявление оконтурено ореолом рассеяния молибдена по результатам спектральных анализов рыхлой металлометрии. Содержание молибдена в пробах от следов до 0,01%. Кроме указанного рудопроявления, металлометрическим опробованием на площади листа выявлено 12 ореолов рассеяния молибдена (3, 23, 50, 47, 69, 65, 84, 93, 97, 100, 60, 79), вероятно, связанных с гранитоидами баргузинского и витимканского комплексов. Содержание молибдена в ореолах рассеяния от следов до 0,001%.

Циркон

Под данным шлихового опробования выявлены ореолы рассеяния цирконита в бассейне рек Дзилинды, Тетраха, Енлондо, Ныгряя, Коректондекана (54, 69, 43). Содержание его, по данным минералогического анализа, от 0,03 до 0,05 кг/м³.

Тантал и ниобий

В процессе геологостремочных работ нами выявлено пять юрековых проявлений и несколько механических ореолов рассеяния тантала-ниобиевых минералов.

В е р ж н е - С и р и к т и н с к о е р у д о п р о я з -
л е н и е (5) находится на водоразделе рек Симята-Кудай, в
4 км западнее отметки 1304,0 м, и приурочено к дайке мелкозерни-
стых гранитов щ фазы баргузинского комплекса. Дайка имеет непра-
вильную, вытянутую форму. Простирание ее северо-западное 320-330°,
падение на север-северо-восток 50-60°. Мощность ее непостоянная –
от 1 до 2-3 м, по простиранию она прослеживается на 150 м. Гудная
вкрашенность представлена фергасонитом.

В штучных пробах содержание фергасонита колеблется от ред-
ких знаков до 0,02 г. Кроме фергасонита присутствуют радиоактив-
ный циркон (знаки), торит (редкие знаки).

Спектральный анализ в скользких пробах показал содержание
ниобия 0,01-0,03%, циркония 0,008-0,01%, иттрия 0,003-0,01%.

По химическим анализам бороздовых проб, содержание тантала
равно 0,005%, ниобия – 0,009%. Сумма редких земель составляет
0,02-0,03%.

Д ж и л и н с к о е р у д о п р о я з л е н и е (15)
расположено на правом склоне верхнего течения р.Джилинды, где
среди россыпи встречены мелкозернистые граниты с мелкими (10-
15 см) прожилками пегматитов, в которых наблюдается мелкая, но
редкая вкрашенность тантало-ниобиевых минералов. Размеры их кри-
сталлов не превышают 1Х0,2 мм. Содержание пентокси тантала в
пегматитах равно 0,01%.

Х а р г у й с к о е р у д о п р о я з л е н и е (89)
расположено на левом склоне долины р.Харгуйты и приурочено к
элювиальной россыпи пегматитов, которая занимает площадь
300Х200 м². В глыбах пегматитов отмечена вкрашенность граната и
ильменорутила. По спектральному анализу содержание в пегматите
ниобия достигает 0,03%. Химические анализы показали следующие
содержания: пятиокись тантала – 0,005%, ниобий – 0,005%.

И р а н с к о е р у д о п р о я з л е н и е (68) распо-
ложено на правом склоне долины р.Ирана и связано с гранит-порфи-
рами и мелкозернистыми гранитами гулжирского комплекса. Породы,
слагающие склон, площадь которого около 15 км², интенсивно эли-
ментизированы, катаклизированы. В этих породах
спектральным установлена содержание ниобия – 0,03-0,01%,
химический анализ показал содержание пятиокиси тантала – 0,005%,
ниобия – 0,005%.

А т а л а н г и н с к о е р у д о п р о я з л е н и е
(58) расположено на левом берегу р.Агаланги и приурочено к мас-
сиву гранитов витимканского комплекса. На участке рудопроявления

грани сильно дроблены, эпидотизированы, в них наблюдается ред-
кая вкрашенность флюорита. Минералогическим анализом установлены
тантало-ниобиевые минералы, ортит, торит, циртолит. Содержание
ниобия равно 0,01%, пентокси тантала – 0,005%.

Кроме описанных рудопроявлений, на площади листа по данным
металлометрического и шлихового опробования установлено 15 меха-
нических ореолов в рассеянии тантало-ниобиатов (2, 19, II, I4, 75,
45, 18, 51, 52, 57, 49, 88, 46, 70, 99). Почти все ореолы прост-
ранственно связаны с гранитоидами гуджирского и витимканского
комплексов или с пегматитовыми жилами баргузинского комплекса.
Содержание тантало-ниобиевых минералов в ореолах рассеяния по
шлиховым пробам не превышает знаков и редких знаков. Содержание
ниобия в ореолах рассеяния, по данным металлометрического опробо-
вания, не превышает 0,01%.

Редкие земли

Проявление редкоземельных элементов (34) расположено в двух
километрах юго-восточнее абсолютной отметки 1234,0 м, на левом
склоне безымянного распадка, и связано с зоной дробления среди
сланцев таллинской свиты. На участке рудопроявления зафиксирована
на повышенная радиоактивность пород (80 мкР/час). Высокая актив-
ность простирается в пределах тектонической зоны, мощность ко-
торой не превышает 100 м. Макроскопически в породах из зоны не
наблюдается какой-либо рудной минерализации. Результаты спект-
ральных анализов показали содержание в них иттрия – 0,02%, ланта-
на – 0,1%, церия – 0,3%, гадолиния – 0,01%, тория – 0,1%, строн-
ция – 0,2%, бария – 3%. Минералогические анализ показали присут-
ствие в знаках и редких знаках пирокона, циртолита, монацита, флюо-
рита, силиманита, андалузита, тантало-ниобиевого минерала, ор-
тита, марказита и молибденита. Это рудопроявление заслуживает
дальнейшего изучения.

Среод расчленения (96) редкоземельного минерала (чевенкинга?)
выявлен по данным шлихового опробования на водоразделе рек Мог-
зона – Альхаря и, вероятно, связан с синеклитами кундайского комп-
лекса. Содержание его в шлиховых пробах достигает 75 знаков. Ми-
нералогические анализы протолочек из синеклитов показывают при-
сутствие этого минерала в знаках и редких знаках. Рентгенострук-
турный анализ установлена составляющие элементы минерала: ти-
тан, железо – 10%, лантан, церий – десять доли процента, цирко-
ний, гадолиний, иттрий, торий – сотые доли процента, олово, сви-

нед, никель, ниобий, tantalий, медь, марганец, барий, иттербий — следы. По данным металлометрического опробования установлена ореол лантана (64, 82, 91), галлия (63), связанные с гранитоидами витимканского комплекса. Содержание элементов в них колеблется от 0,01 до 0,03%. По данным уранометрической съемки выявлен ореол рассеяния урана (78), связанный с нормально-осадочными отложениями зазинской свиты. Содержание радиоактивных элементов в пределах этого ореола составляет 0,003—0,048% экв урана. Перлодиаминесцентным анализом определен уран в количестве 0,001%.

Все выявленные ореолы рассеяния редких земель не имеют практического значения.

НЕМЕТАЛЛИЧЕСКИЕ ИСКОПАЕМЫЕ

О П Т И Ч Е С К О Е С И Р Е

Исландский шпат

Проявление исландского шпата (94) расположено на правом берегу р. Витима, в 4 км от устья р. Сырти, и связано с базальтами хилокской свиты. Здесь, в нижней части обнажения, на расстоянии 150 м наблюдаются миндалекаменные базальты, все поры которых заполнены кальцитом и исландским шпатом. Кристаллы их имеют размеры 6х5 см и обладают ромбоэдрическим, призматическим, скalenoid-рическим габбитусами. Большинство кристаллов окрашено в желтоватый цвет, они сильно трещиноваты. Отмечается небольшая замутненность кристаллов.

Горный хрусталь

Проявления горного хрустала (73, 85) отмечаются в двух местах: на левых бортах р. Тетрах и р. Тальши. Находится он в пустотах базальтов. Размеры кристаллов достигают до 1,5 см при 0,8 см в поперечнике.

М и г е р а л ь н ы е у д о б р е н и я

Фосфорит

Бутуйское проявление фосфорита (90) расположено на левом борту р. Витима, в 8 км к западу от устья р. Бутуй, и связано с маломощными прослоями глинистых

сланцев, которые входят в состав разреза нормально-осадочных отложений зазинской свиты нижнего мела. Мощность этих прослоев не превышает 0,5 м, а протяженность — 0,6 км. Всего имеется четыре таких прослоя. Химический анализ бороздовых проб показал содержание в них пятиокиси фосфора от 3,5 до 13,2%. Кроме того, здесь же отмечены линзы и каркасобразные стяжения песчаников с известково-сидеритовым и фосфатно-сидеритовым цементом, содержание в которых пятиокиси фосфора достигает 3%. Учитывая плоскую обнаженность и слабую изученность отложений, выполняющих бутуйскую эпидину, можно высказать предположение, что при последующих детальных работах в составе зазинской свиты выделяются более интересные в про-

множественном отношении фосфатоносные пачки.

Джилиндийское проявление (39) расположено на правом берегу р. Джилинды, в 6 км выше пос. Джилинды. Здесь обнажаются песчано-глинистые отложения чининской толщи с многочисленными остатками растительности, мелкими прослонами и линзами темно-синей разновидности эмарианита-керченита. Включения и линзы эмарианита приурочены в основном к глинистым сланцам, составляющим основную часть разреза. Мощность сланцев около 15 м. Распределение линз и вкраплений эмарианита неравномерно, а их размеры колеблются от 0,5 до 5,5 см в поперечнике. Мощность прослоев эмарианита не превышает 1-2 см. Химический анализ отдельных проб показал содержание пятиокиси фосфора от 10 до 32%, однако, по бороздовым пробам, отобранным по всей массе пород, она не превышает 1,5%. Для выявления новых участков, находящихся винитом, необходима постановка более детальных работ.

СТРОИТЕЛЬНЫЕ МАТЕРИАЛЫ

Вулканические туфы

Вулканические туфы на описываемой площади имеют широкое распространение. Они слагают остатки конусов древних потухих вулканов. Всего нами обнаружено 12 таких сопок, каждая из которых представляет собой месторождение вулканических туфов (16, 17, 20, 22, 25, 27, 29, 31, 28, 41, 42). Средняя мощность туфов на каждом из указанных месторождений достигает 60-70 м, а площадь распространения — 1,0-1,5 км². Туфы представлены сильно пористыми разновидностями, очень легкими на вес. Цвет их красный, охристый — буровато-серый.

Химический анализ туфов показывает следующее содержание ос-

ионных компонентов (в %): SiO_2 - 44,28; Al_2O_3 - 1,04; Fe_{2}O_3 - 8,23; MnO - 0,08; P_{2}O_5 - 0,05; TiO_2 - 0,15; CaO - 4,17; MgO - 32,43; K_2O - следы; Na_2O - 0,41.

Известники

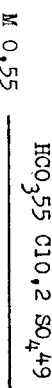
Химически чистые известники развиты на водоразделе рек Сиринкты - Сириты - Бурулзая (36) и на левобережье р.Бол.Амала-та (10) и входят в состав тилимской свиты верхнего протерозоя. Общая площадь их распространения около 60 км². Химические анализы 30 бороздовых проб, отобранных по разрезу свиты, показывают следующие содержания: окиси кальция - 53,61-47,85%, окиси магния - 0,66-3,38%, пятиокись фосфора - 0-3,38%, суммарного железа - 0-2,23%, глиноэма - 0,9-1,18%, кремнезема - 5,52-6,88%. Расчетное содержание CaCO_3 составляет 85,65-95,96% и MgCO_3 - 7,06-0,43%. Силикатный модуль I, 76-5,21, глиноzemистый модуль 0,4.

По своему химическому составу известники могут быть использованы для производства кальцинированной соды, в качестве флюсовых известняков для доменного и сталелитейного производства. В случае разработки массивов нефелиновых пород они могут быть использованы при производстве алюминия (входит в состав шихты при получении глиноэма путем спекания). Запасы известников этих месторождений практически неограничены.

Источники

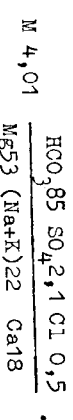
Источники минеральных вод

Амалатский источник (12) находится в верхнем течении р.Бол.Амалата. Здесь, на холме высотой 0,4-0,5 м, сложенном транвертиными, имеется воронкообразные угубления. Глу-бина воронок 0,3-0,4 м, диаметр - 1,2-0,7 м. Расстояние между воронками 10-15 м. Внутри каждой воронки имеется серия выходов источника на поверхность. Источник по своему типу восходящий, с общим дебитом 5-6 л/сек. Вода в источнике холодная, совершенно прозрачная, пресная на вкус и со слабым сероводородным запахом. Химический состав воды характеризуется следующей формулой:



Температура воды +3, +4°C.

Шибиринский источник (62) расположен в верхнем течении р.Шибирки. Источник пробивается через аллювиальные отложения в виде газирующих грифонов. Дебит его 0,5-0,6 л/сек. Вода холодная, прозрачная, по составу гидрокарбонатно-магниевая. Химический состав воды характеризуется формулой:



M 4,01
ME53 (НАРК)22 Ca18

Местными жителями используется в лечебных целях.

Ансакский источник (77) находится на левом берегу р.Ансакан. Этот источник не отработан и отнесен к мигрантному условию по солоновато-кислому вкусу воды и большому количеству газовых выделений. Вокруг источника почва соленая. Местными жителями используется для лечебных целей. Дебит его 1-2 л/сек.

ПЕРСПЕКТИВЫ РАЙОНА И ДАЛЬНЕЕ НАПРАВЛЕНИЕ РАБОТ

Основой составления схемы прогнозов (главным образом структурно-металлогенического районирования площади листа) послужила металлогеническая карта Бурятской АССР масштаба 1:500 000 (Арсентьев, 1964г.). В целом район работ входит в состав двух структурно-металлогенических зон: Туркино-Бамбуйской и Селентино-Битимской рек. В зависимости от характера оруднения на исследованной площади, внутри этих крупных структурно-металлогенических зон, выделяются более мелкие рулевые зоны редкометального оруднения, зона нефелинсодержащих пород, площадь высокоглиноzemистого сырья, уранносодержащие и фосфоритосодержащие площади (рис.4).

Амалатская зона редкометального оруднения охватывает водораздел рек Кудая - Джилинды и первые бассейна р.Бол.Амалата. В пределах зоны находятся выявленные нами Верхне-Сиринкинское (5), Джилиндинское (15) тантало-ниобиевые проявления. Наряду с этим в ее пределах расположены ореолы рассеяния тантало-ниобатов, выявленные металлометрическим отработанием, ореолы колумбита, фергансонита и тантало-ниобатов, установленные по результатам эпиконтактного отработания. Кроме того, здесь широко развиты процессы аллювиации, флюоритизации, сквирирования. Редкометальные проявления связаны с жилами пегматитов и дайками альбитизированных гранитов.

Наиболее интерес для дальнейших поисков месторождений редких металлов в пределах Амалатской редкометальной зоны представляют площадь шириной 8-10 км и протяженностью 30 км

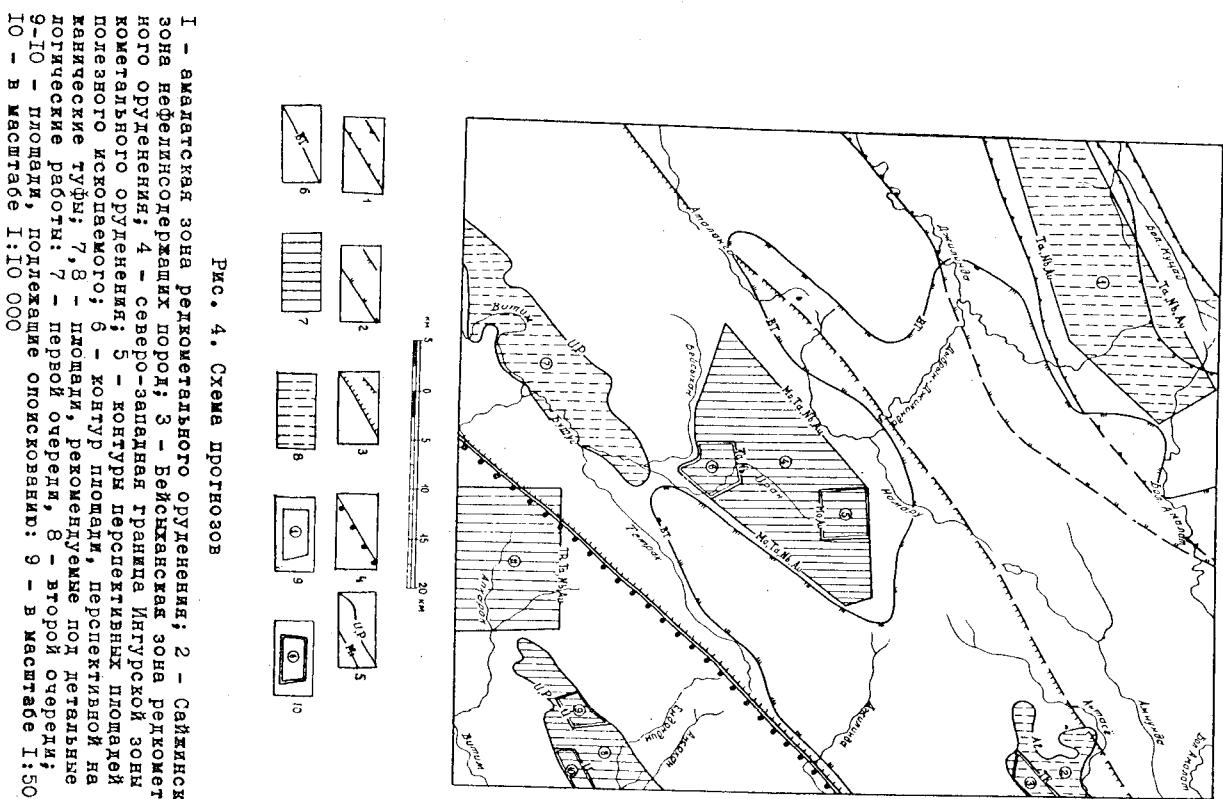


Рис. 4. Схема прогнозов

1 - амалатская зона редкometального оруденения; 2 - сажинская зона непелиногородящих пород; 3 - берянская зона редкоталь-
ного оруденения; 4 - северо-западная граница ингурской зоны ред-
котального оруденения; 5 - контуры перспективных площадей и вид
полезного исходного; 6 - контур плодиль, перспективной на вул-
канические туфы; 7, 8 - плодиль, рекоменданные под первые гео-
логические работы; 7 - первая очередь, 8 - вторая очередь;
9-Ю - плодиль, подлежащие опробованию; 9 - в масштабе 1:50 000,
10 - в масштабе 1:10 000.

(см.рис.3). На этой плошади находятся все описанные проявления редких металлов и участок, перспективный на золото. В пределах ее рекомендуем привести геологическую съемку масштаба 1:50 000 с целью поисков тантало-ниобатов и золота.

Б е й с и х а н с к а я з о н а редкметального орудене-
ния охватывает площадь междууречья Аталаи - Бутыя и Алагасе -
Джилинды. Она приурочена к крупной системе региональных разломов, с которыми связано внедрение малых интрузий нижнемезозойского возраста, представленных мелкозернистыми гранитами и гранит-пор-
фирами. В пределах этой зоны имеется проявление тантало-ниобатов (58), молибдена (48), золота (37), редких земель (34).

Для детальных работ на редкоземельные и редкие металлы и золото рекомендуется два участка. Первым является плошадь, расположенная в междууречье Дыбыры-Джилинды - Мрана. В ее пределах вы-
явлены рудопроявления молибдена, олова и ниобия. Связаны они с гидротермально измененными гранитами гумми-
ского интрузивного комплекса. Второй участок перспективен на ред-
коземельные элементы. Он расположен в бассейне р. Антасе, выше
абсолютной отметки 1234,0 м.

Редкоземельное проявление (34) приурочено к тектонической зоне мощностью около 100 м. Вкрапления породы представлены сили-
манит-андезит-коллеритовыми сланцами, содержащими лантана -
0,1%, церия - 0,5%, иттрия - 0,02%, гадолиния - 0,01%, тория -
0,1%, стронция - 0,2%, бария - 3%. Имеющиеся данные позволяют рекомендовать эту плошадь под поисковые работы масштаба 1:10 000.

И н г у р с к а я з о н а редкметального оруденения охватывает юго-восточную часть плошади. В ее пределах обнаружена редкоземельная минерализация, связанная с сульфидными породами Куналейского интрузивного комплекса. Массив сменяет закартирован в бассейне р. Алихарка. Нами установлена связь с породами этого массива ореолов рассеяния ниобия, молибдена, редкоземельного минерала (чекинита?), монацита, ортита. Эта зона является пер-
спективной на поиски указанных минералов и мы рекомендуем здесь проведение геологической съемки масштаба 1:50 000.

С а й и н с к а я з о н а пефелинодержащих пород ох-
ватывает междууречье Джилинды - Кулая и верховье бассейна р. Бык-Амалата. В пределах этой зоны обнаружены массивы (Верхне-
Бурульзайский, Сиркитинский, Мухольский, Амалатский) пефелиновых сбоктоев, уртилов и молибдов.

Мухольский массив застуживает дальнейших оценочных работ на титаносодержащее сырье, так как здесь возможно выделение участка с

содержанием глиноэзema не ниже 26% и железа не выше 6%. Остальные массивы могут быть вполне пригодны для глиноэземной промышленности в качестве вспомогательного сырья. Если учесть, что в пределах этой зоны находятся и рекомендуемые нами участки на tantal, ниобий и золото, то перспективы ее еще увеличиваются.

Площадь сокольинского сирия нами выделена в бассейне р. Антасе. Она сложена силимит-андалузитовыми кристаллическими сланцами. В ее пределах входит участок "Антасе" с проявлением алюминия (33). Ввиду малого содержания высокоглиноэзистых минералов участок оценен как неперспективный. Однако эта оценка небольшого участка не позволяет судить о перспективности всей площади распространения пород таллинской свиты, содержащих высокоглиноэзистые минералы. Вполне возможно нахождение здесь горизонтов или линз с промышленной концентрацией силимилита и андалузита. Поэтому мы рекомендуем провести на этой площади поисковые работы во вторую очередь.

ПОДЗЕМНЫЕ ВОДЫ

Специальных гидрогеологических исследований на территории листа № 49-ХШ не проводилось. В связи с этим описание подземных вод дается по материалам собственных наблюдений, которые велись попутно с геологической съемкой.

По условиям формирования и распространения подземные воды района подразделяются (с учетом классификации Н.И. Толстикова) на надмерзлотные воды - пластово-поровые воды ледяного слоя и подмерзлотные воды: а) трещинно-пластовые и порово-пластовые воды осадочных пород мезо-кайнозойских отложений, б) трещинные воды изверженных пород, в) трещинно-пластовые воды эфузивных и метаморфических пород, г) трещинно-жильные воды.

Пластовая - поро-вье зоны деятельности - надмерзлотных вод является верхняя граница многолетнемерзлых пород, не-рыхлыми аллювиальными и делювиальными отложениями четверичного возраста, слагающими деятельный слой. Водоупорным основанием для Пластовых распространены повсеместно. Они связаны с ровности которой обуславливает изменение мощности надмерзлотных водных горизонтов. Мощность последних зависит еще от экспозиции склонов: на северных склонах она достигает 0,5-1 м, а на южных - 2-3 м. Режим надмерзлотных вод тесно связан с сезонным промерзанием и оттаиванием грунта: в летнее время - свободное, в начале зимы - напорное. Основными источниками питания надмерзлотных вод деятельного слоя являются атмосферные осадки, а на

участках речных долин также поверхностные воды, при высоком стоянии их уровня в реках и водоемах.

Обычно надмерзлотные воды являются пресными, прозрачными, низкотемпературными (+4, +5°C), слабо минерализованными.

Трещинно-пластовые и поровые воды. Водоносными горизонтами являются пласти песчаников, гравелилов, контлакратов ёлондинской и чининской свиты. Они относятся к напорным и имеют низкие температуры, близкие к 0°C. Высота напора от -50 до -200 м (по данным буровых скважин).

Водообильность колеблется от 10 до 30 м³/час. Формирование химического состава этих вод зависит от состава и фильтрационных свойств вымещающих пород и условий питания. По химическому составу они подразделяются на сульфатно-кальциево-натриевые и гидрокарбонатно-кальциевые. Температура воды 3-5°C.

Пластовые воды из венчика подземного развития магматических пород. Питание этих вод происходит за счет боковой и вертикальной инфильтрации атмосферных осадков. Глубина обводненности достигает 30-60 м. Выходы их наблюдаются в обрывистых склонах рек Витима, Джилины, Амануды, Антасе, Бол. Амалата. Дебят их не превышает 0,5 л/сек. По химическому составу они подразделяются на гидрокарбонатно-кальциевые и гидрокарбонатно-натриевые.

Трещинно-пластовые воды эффиузивных и месторождений пород. Водоупором горизонтом для этого типа наблюдаются в виде нисходящих источников по трещинам в скальных обнажениях. Выходы на поверхность отмечаются по рекам Харагуйке, Джилине, Витиму. Водоупорным горизонтом для этих вод служат коренные породы, лишенные трещиноватости. Питание этого типа вод смешанное, происходит как за счет инфильтрации атмосферных осадков, так и за счет притока примыкающих воднонасыщенных зон трещиноватости интрузивов.

Вода в источниках не превышает температуры 10°C, прозрачна, на вкус солистая. Дебят источников составляет 0,2-0,5 л/сек. Трещинно-ильные воды из венчика подземного развития к трещинам тектонического происхождения и на поверхность выходят в виде отдельных источников. Задиксированные нами такие источники описаны в главе "Полезные ископаемые".

ФОНДОВАЯ

ЛИТЕРАТУРА

ОПУБЛИКОВАННАЯ

Беличенко В.Г., Комаров Ю.В., Чёрно в. Д.А. Поздние молассы раннекаледонской тессинклинали внутренней части Байкальской горной области. ДАН СССР, т.138, № 6, 1961.

Беличенко В.Г., Комаров Ю.В. и др. Геологопетрографический очерк южной окраины Витимского плоскогорья (Северо-Западное Забайкалье). Тр. Вост.-Сиб.геол.института. СО АН СССР, вып.8. М., 1962.

Белоуз И.В. Трахибазальтовая формация Забайкалья. К о м а р о в Ю.В. Схема нижнемезойского магматизма Западно-Забайкальской подвижной зоны. "Геология и геофизика", № II, 1960.

Конев А.А. Шелочные и ультраосновные породы Сайхинского и Гулхенского plutонов. Зап. Вост.-Сиб.отд. Всесоюз. мин. общ., вып.2. Иркутск, 1960.

Павловский Е.В. Геологическая история и геология структуры Байкальской горной области. Тр. ИГН АН СССР, вып.99, сер. геол., № 31, 1948.

Павловский Е.В. Тектоника Саяно-Байкальского национального парка. АН СССР, сер. геол., № 10, 1956.

Салоп Л.И. Нижний палеозой Средне-Витимской страны. Всесиб. Л., Госгеолтехиздат, 1954.

Салоп Л.И. Байкальская складчатая область. (В кн.: "Геологическое строение СССР", т.Ш.). М., Госгеолтехиздат, 1958.

Форенсов Н.А. Геоморфология и почвенный покров Забайкалья. Изв. АН СССР, сер. геол., № 2, 1948.

Форенсов Н.А. Мезойские и кайнозойские впадины Прибайкалья. Тр. ВСФ ОИ АН СССР, сер. геол., вып.19, М.-Л., 1960.

Арсентьев В.П., Батурина Е.Е. и др. Метаморфическая и прогносная карта Бурятской АССР масштаба 1:500 000 (отчет о работах по темам: № 39 за 1961-1963 гг. и № 117 за 1964 г.). Объяснительная записка, том I. 1964.

Беличенко В.Г., Комаров Ю.В. и др. Геологическое строение Ула-Она-Заза-Витимского междууречья (отчет по геологосъемочным работам масштаба 1:500 000 за 1957 г.). Институт геологии ВСФ АН СССР, г.Иркутск, 1958.

Белоуз И.И. Отчет о результатах работ Сайхинской партии за 1960 г. (Сайхинский шелочно-ультраосновной комплекс). 1961.

Булгатов А.Н., Гусев В.Н. Геологическое строение и полезные ископаемые территории листа №49-ХХI (отчет Кылжимской геологосъемочной партии за 1957-1959 гг.). 1960.

Гусев В.Н., Людовин Ф.Н. и др. Геологическое строение и полезные ископаемые юго-западной территории листа №49-ХХIII (отчет Джилиндинской геологосъемочной партии за 1961 г.). 1962.

Гусев В.Н., Людовин Ф.Н. Геологическое строение и полезные ископаемые северо-западной территории листа №49-ХХIII (отчет Джилиндинской геологосъемочной партии за 1962 г.). 1963.

Гусев В.Н., Людовин Ф.Н. Геологическое строение и полезные ископаемые восточной части листа №49-ХХII (отчет Джилиндинской геологосъемочной партии за 1963 г.). 1964.

Малышев А.А. Государственная геологическая карта СССР масштаба 1:200 000, лист №49-ХХIII. Объяснительная записка. 1961.

Оскин П.В., Фишев Н.А. Геологическое строение и полезные ископаемые Чина-Амалатского междууречья (Витимское плоскогорье). Отчет Мало-Амалатской партии по геологической съемке масштаба 1:200 000 за 1957-1959 гг. 1960.

Попков И.В., Пигарев Е.С. Отчет о результатах работ Бурчанской партии за 1962-1963 гг. 1964.

Попов П.А. Результаты гравиметрической съемки территории Бурятской АССР в масштабе 1:1 000 000 по состоянию на 1 ноября 1963 г. (отчет о работах гравиметровой партии за 1962-1963 гг.). 1963.

X/ Литература, местонахождение которой не указано, хранится в фондах Бурятского территориального геологического управления (г.Улан-Удэ).

Приложение I

Список
МАТЕРИАЛОВ, ИСПОЛЬЗОВАННЫХ ДЛЯ СОСТАВЛЕНИЯ КАРТЫ
ПОЛЕЗНЫХ ИСКОПАЕМЫХ

№/п	Фамилия и инициалы автора	Название работы	Год со- ставле- ния мате- риалах/ издания	Местонахож- дение мате- риалах/его фондовым №
1	2	3	4	5
1	Белозеров Н.И.	Отчет о результатах работ Салдинской партии за 1960 г. (Салдинский шелочно-ультраосновной комплекс)	1960	№ 02118
2	Гусев В.Н., Людофун Ф.Н. и др.	Геологическое строение и полезные ископаемые юго-западной территории листа № 49-XXIII (отчет Джалдиндинской геологосъемочной партии за 1961 г.)	1962	№ 02283
3	Гусев В.Н., Людофун Ф.Н. и др.	Геологическое строение и полезные ископаемые северо-западной территории листа № 49-XXIII (отчет Джалдиндинской партии за 1962 г.)	1963	№ 02575
4	Гусев В.Н., Людофун Ф.Н. и др.	Геологическое строение и полезные ископаемые восточной части листа № 49-XXIII (отчет Джалдиндинской геологосъемочной партии за 1963г.)	1964	№ 02828

X/ Материалы хранятся в фондах Бурятского территориального геологического управления.

Приложение 2

СПИСОК
ПРОМЫШЛЕННЫХ МЕСТОРОЖДЕНИЙ ПОЛЕЗНЫХ ИСКОПАЕМЫХ ПОКАЗАННЫХ
НА ЛИСТЕ №-49-ХХII КАРТЫ ПОЛЕЗНЫХ ИСКОПАЕМЫХ
МАСШТАБА 1:200 000

Приложение 3

СПИСОК
НЕПРОМЫШЛЕННЫХ МЕСТОРОЖДЕНИЙ ПОЛЕЗНЫХ ИСКОПАЕМЫХ, ПОКАЗАННЫХ
НА ЛИСТЕ №-49-ХХII КАРТЫ ПОЛЕЗНЫХ ИСКОПАЕМЫХ
МАСШТАБА 1:200 000

№ по кар- те	Индекс клетки на карте	Наименование место- рождения и вид полезного ис- копаемого	Состояние эксплуатации	Тип ме- ста- ния пользо- вания (К-ко- ренное, Р-рос- сийское) по списку	№ ис- копае- мого (К-ко- ренное, Р-рос- сийское) по списку
МЕТАЛЛИЧЕСКИЕ ИСКОПАЕМЫЕ					
40	II-2	Мчхольское	Алюминий	Не эксп- луати- руется	K 3-5
СТРОИТЕЛЬНЫЕ МАТЕРИАЛЫ					
И з в е р ж е н и я п р о б ы					
10	I-2	Амалатское	Известняки	Не эксп- луати- руется	K 30 I-4 Г-е Амалатское
36	II-1	Сиритинское	Булканические туфы	Не эксплуа- тируется	K 4
Булканические туфы					
20	I-2	2-е Амалатское	To же		K 4
25	I-3	I-е Амундинское	"		K 4
29	I-3	2-е Амундинское	"		K 4
27	I-3	3-е Амундинское	"		K 4
20	I-2	I-е Ароанинское	"		K 3
25	I-3	2-е Ароанинское	"		K 3
41	I-2	Бамбужское	"		K 4
22	I-2	Дыбырн-Джилиндинское	"		K 3
42	I-2	Екаэр-Джилиндинское	"		K 3
16	I-2	Куларихтинское	"		K 3
Чекчикенское					

Приложение 4

Список

ПРОЯВЛЕНИЙ ПОЛЕЗНЫХ ИСКОПАЕМЫХ, ПОКАЗАННЫХ НА ЛИСТЕ
№-49-ХХХ КАРТЫ ПОЛЕЗНЫХ ИСКОПАЕМЫХ МАСШТАБА 1:200 000

№ по карте	Название (местонахождение) проявления и вид полезногоископаемого	Характеристика проявления	№ ис-пользованного материала по списку
I	2	3	4
102	3	4	5
14-4	ТОРЧИЕ ИСКОПАЕМЫЕ Газы торчие		
Водораздел рек Ендондин - Витима	По данным буровой скважины		4
24	Ч е р н ы е м е т а л ы Марганец		
Водораздел рек Арсани - Амунда	Ореол рассеяния по данным металлометрического опробования		4
67	Верховье пади 2-й Тетрах	Ореол рассеяния по данным шлихового опробования	4
66	То же	То же	4
80	Верховье р.Сыртлы	Ореол рассеяния по данным металлометрического опробования	4
53	П-4 Верховье р.Имы	Ореол рассеяния по данным шлихового опробования	2
81	ГУ-1 Верховье р.Сыртлы	Ореол рассеяния по данным шлихового опробования	8

1	2	3	4	5
87	ГУ-2	Бассейн нижнего течения р.Амудли	Ореол рассеяния по данным шлихового опробования	2
71	III-3	Бассейн нижнего течения р.Тетраха	То же	2
61	III-2	Верховье р.Шибириши	"	2
95	ГУ-3	Нижнее течение р.Тетраха	Вкрапленность ильменита, пирита в габбро-диоритах и дюритах. Содержание окиси титана - 2,3%	2
26	I-3	Правый водораздел р.Аорани	Медь	
		Свинец	Ореол рассеяния по данным металлометрического опробования	4
44	II-3	Верховье р.Демкуана	Ореол рассеяния по данным металлометрического опробования	4
92	ГУ-2	Водораздел рек Тетраха - Алхарка	То же	4
74	III-4	Водораздел рек Делинди - Аксахана	"	4
101	ГУ-4	Водораздел рек Ендондин - Нагрей	"	4
98	ГУ-3	Правый борт пади Мотзон	"	4
		Цинк		
8	I-1	Водораздел рек Исокто - Джилиди	"	3
38	П-1	Водораздел рек Бархасуна - Ковокты	"	3

1	2	3	4	5
I	2	3	4	5
33	I-4	Ангасе	Алюминий	
			Горизонты и линзы сплошных лиманит-андалузитовых сланцев. Содержание – 15-19%	
12	I-2	Амалатское	Массив нефелиновых сиенитов. Содержание окиси алюминия – 20,45%	I,3
7	I-I	Верхне-Бургульзайское	Массив нефелиновых сиенитов. Содержание окиси алюминия – 18,84%	3
32	II-4	Бассейн р.Ангасе	Ореол рассеяния по данным шлихового опробования	4
			Ореол рассеяния – 18,84%	
76	III-4	Междуречье Ендондино – Анасахан	Массив нефелиновых сиенитов. Содержание окиси алюминия – 19,85%	4
35	II-I	Сиркитинское	Благородные металлы	
			Золото	
55	III-I	Бассейн рек Аяна-Амалаты	Ореолы рассеяния по данным шлихового опробования	2
37	III-I	Бассейн р.Кукушунды	То же	3
6	I-I	Бассейн р.Сиркиты	"	3
			Редкие металлы	
			Олово	
9	I-2	Верховье р.Бол.Амалата	Ореол рассеяния по данным металлометрического опробования	2
86	IV-2	Верховье р.Тальши	То же	3
4	I-I	Водораздел рек Исокто – Лежинда	"	3
59	III-2	Водораздел рек Дыбрын – Джелинды – Бейсхан	Ореол рассеяния по данным металлометрического опробования	2
			То же	4
72	III-3	Водораздел рек Тетраха – Ныгрей	"	2
83	IV-1	Водораздел рек Харачук – Сырглы	"	2
56	III-1	Правый борт р.Аталанги	"	2
			Больфрам	
1	I-I	Бассейн р.Куляя	Ореол рассеяния по данным шлихового опробования	3
21	II-2	Верхнее течение р.Джилинды	То же	3
			Мolibден	
48	II-3	Водораздел рек Ирана – Кореткондекана	Вкрапленность молибдена в кварцевых прожилках и гранит-порфирах. Содержание молибдена 0,2%	4
97	IV-3	Бассейн р.Алхарка	Ореол рассеяния по данным металлометрического опробования	4
			То же	3
23	I-3	Верховье р.Бол.Амалата	"	2
79	IV-1	Верховье р.Сырглы	"	2
60	III-2	Верхнее течение р.Бейсхан	"	2
65	III-2	Верховье р.Тальши	"	2
93	IV-2	Водораздел рек Витим – Джелсен	"	2
47	II-3	Водораздел рек Демкукана – Ирана	"	4
50	II-4	Водораздел рек Ймы – Антачона	"	4

I	2	3	4	5
3	I-I	Водораздел рек Сириник- ты - Джилинды	Ореол рассеяния по дан- ным металлометрического опробования	3
100	IУ-4	Левый борт р.Ендидино	To же	4
84	IУ-1	Левый борт р.Сырты	"	2
43	2-3	Бассейн р.Корткондекан	Циртолит	
			Ореол рассеяния по дан- ным шлихового опро- бования	
54	2-4	Верховье р.Джилинды	To же	4
69	III-3	Водораздел рек Тетрах - Ендидино - Ныгрей	"	4
58	III-I	Аталалинское	Тантал и ниобий	2
			Зона дробления в гра- нитах с вкрашенностью флюорита. Содержание пятиокиси тантала и ниobia - 0,005%	
2	I-I	Бассейн р.Сиринники	Ореол рассеяния по дан- ным шлихового опро- бования	3
19	I-2	Бассейн р.Джилинды	To же	3
5	I-I	Верхне-Сиринникское	Датка алббитизированных гранитов. Содержание тантала - 0,005%, нио- бия - 0,009%	3
II	I-2	Верховье р.Бол.Амалата	Ореол рассеяния по дан- ным шлихового опро- бования	3
51	II-4	Верховье р.Имы	Ореол рассеяния по дан- ным металлометрического опробования	4
45	II-3	Верховье р.2-й Тетрах	To же	4
			Циртолит	
			Ореол рассеяния по дан- ным шлихового опро- бования	
57	III-I	Водораздел рек Аталаанти - Сихилинина	Ореол рассеяния по данным металлометри- ческого опробования	2
			To же	4
52	II-4	Водораздел рек Ангасе - Джилинды	"	3
			Водораздел рек Джилинды - Сирикты	
75	III-4	Водораздел рек Ендидино - Ансахана	"	4
			Водораздел рек Имы - АН- тасе	
49	II-4	Водораздел рек Бутыя - Алхарка	"	4
			Водораздел рек Могозона - Алхарка	
88	IУ-2	Водораздел рек Вильма - Бутыя - Алхарка	"	4
			Водораздел рек I-II - 2-й Тетрах	
70	III-3	To же	"	4
99	IУ-3	Водораздел рек Могозона - Алхарка	"	4
			Водораздел рек Чекчино- на - Джилинды	
14	I-2	Джилидинское	Ореол рассеяния по данним шлихового опро- бования	3
			Ореол рассеяния по данним шлихового опро- бования	
15	I-2	Джилидинское	Содержание пятиокиси тантала 0,01%	3
			Жилы пегматитов.	
68	III-3	Иранское	Гнейзенизированные гранит-породы, мел- козернистые граниты. Содержание пятиокиси тантала и ниobia - 0,005%	2
			Россыпи пегматитов с вкрашенностью грана- та и ельменорутила.	
			Содержание пятиокиси тантала и ниobia - 0,005%	

I	II	III	IV	V
I	II	III	IV	V
Редкие земли				
34	I-4	Водораздел рек Имы - Ай-тасе	Зона дробления среди сланцев. Содержание лантана - 0,1%, церия - 0,3%, тория - 0,1%	73 III-3 Левый борт р.Тетраха С базальтовыми пустотами
96	IIУ-3	Водораздел рек Могозона - Ахтарка	Ореол рассеяния по данным опробования	85 IIУ-2 Левый борт р.Талыш М и н е р а л ы н е у л о б р е н и я Фосфорит
Порный хрусталь				
64	III-2	Водораздел рек Бейсихана - Токсынды	Ореол рассеяния по данным металлометрического опробования	2 90 IIУ-2 Бутуйское Простой глинистых сланцев зазисной свиты.
91	IIУ-2	Водораздел рек Харгуты - Тетраха - Могозон	То же	2 39 II-1 Джилиндинское Содержание пятиокиси фосфора 3,49-31%
82	IIУ-1	Водораздел рек Харатуй-Ки - Сырглы	"	2 4 Источники минеральных вод Лесчано-глинистые породы с включениями вивианита
63	III-2	Водораздел рек Талыш - Бейсихана	Ореол рассеяния по данным металлометрического опробования	2 62 III-2 Шибиринский Лесчано-кальциевый
78	IIУ-4	Водораздел рек Ендолдино - Ныгрен	Ореол рассеяния по данным уранометрического опробования	4 77 III-3 Аксаканский Серия трифонов. Температура +4°C. Дебит 0,5-0,6 л/сек. Гидрокарбонатно-магниевый
НЕМЕТАЛЛИЧЕСКИЕ ИСКОПАЕМЫЕ				
94	IIУ-2	Битимское	О п т и ч е с к о е с и р ь е Исландский шпат	2 2 Базальтовые пустоты выполненные исландским шпатом

СОДЕРЖАНИЕ

Стр.

Введение	3
Стратиграфия	6
Интузивные образования	27
Тектоника	45
Геоморфология	53
Полезные ископаемые	57
Подземные воды	74
Литература	76
Приложения	78

Редактор М.А.Трифонова
Технический редактор И.С.Левитан

Корректор Т.В.Шуравина

Сдано в печать 31/III 1972 г. Полисовано к печати 21/IV 1972 г.
Тираж 150 экз. Формат 60x90/16 Печ.л. 5,75 Заказ 158с

Копировально-карточеческое предприятие
Всесоюзного геологического фонда